



## زمین‌شناسی و ژئوشیمی توده‌های نفوذی و نیمه عمیق کاشمر، (شمال بلوک لوت)

علیرضا الماسی<sup>۱</sup>، محمد حسن کریمپور<sup>\*</sup><sup>۱</sup>، خسرو ابراهیمی نصرآبادی<sup>۱</sup>، بهنام رحیمی<sup>۱</sup>، اورس کلوتزلی<sup>۲</sup>

۱- گروه زمین‌شناسی، دانشکده علوم، دانشگاه فردوسی مشهد، ایران

۲- گروه زمین‌شناسی دانشگاه وین/ اتریش

(دریافت مقاله: ۹۴/۹/۲۹، نسخه نهایی: ۹۴/۱۱/۱۱)

چکیده: بازه‌ی ترکیبی توده‌های آذرین نفوذی و نیمه عمیق کاشمر از کوارتز گابرو تا قلیایی گرانیت تشکیل شده است. باستانی چند توده‌ی کوچک مافیک با ویژگی بازالت‌های تولئیتی قلیایی (کمترین مقادیر  $\text{SiO}_2$  و  $\text{CaO}$ ، بیشترین مقادیر  $\text{Na}_2\text{O}$ ،  $\text{MgO}$  و  $\text{K}_2\text{O}$  بالا و متالومینوس تا پرآلومینوس زیاد (۱۳۲-۲۳۳)، همه سنگ‌ها ویژگی آهکی-قلیایی پتاسیم بالا تا شوشوونیتی، متالومین تا کمی پرآلومین (غالباً  $\text{ASI} < 1.1$  و حداقل تا ۱.۳) دارند. الگوهای REE بهنجارشده نشان دهنده‌ی غنی‌شدگی از LILE (مانند Ba، Eu و LREE) و ASI ها، تهی‌شدگی از Nb-Ta-Ti (شاخص‌های مشابه کمان)، الگوهای صاف HREE و بی‌هنجاری منفی Eu، Rb، U و K و Th در نمودارهای جدایشی زمین‌ساختی، گرانیتوئیدها در است. براین اساس همه‌ی سنگ‌های مافیک تا اسیدی همخون و نوع I هستند. در قلمرو برخوردگاه کمانی قاره قرار می‌گیرند. تغییرات عناصر K، Rb، Ba، Eu و Sr گرانیتوئیدها، نشان دهنده‌ی نقش ذوب بخشی و فرآیند AFC در تشکیل گرانیتوئیدهای کاشمر است. الگوهای HREE صاف دلالت بر عدم حضور گارنت در باقیمانده‌ی یا جدایش دارد. براساس مقادیر Y,  $\text{Al}_2\text{O}_3$ , Sr, La و Yb، همه‌ی سنگ‌های کاشمر نآدادکیتی و از ذوب بخشی ۵۰ درصد آمفیبولیت به وجود آمدند.

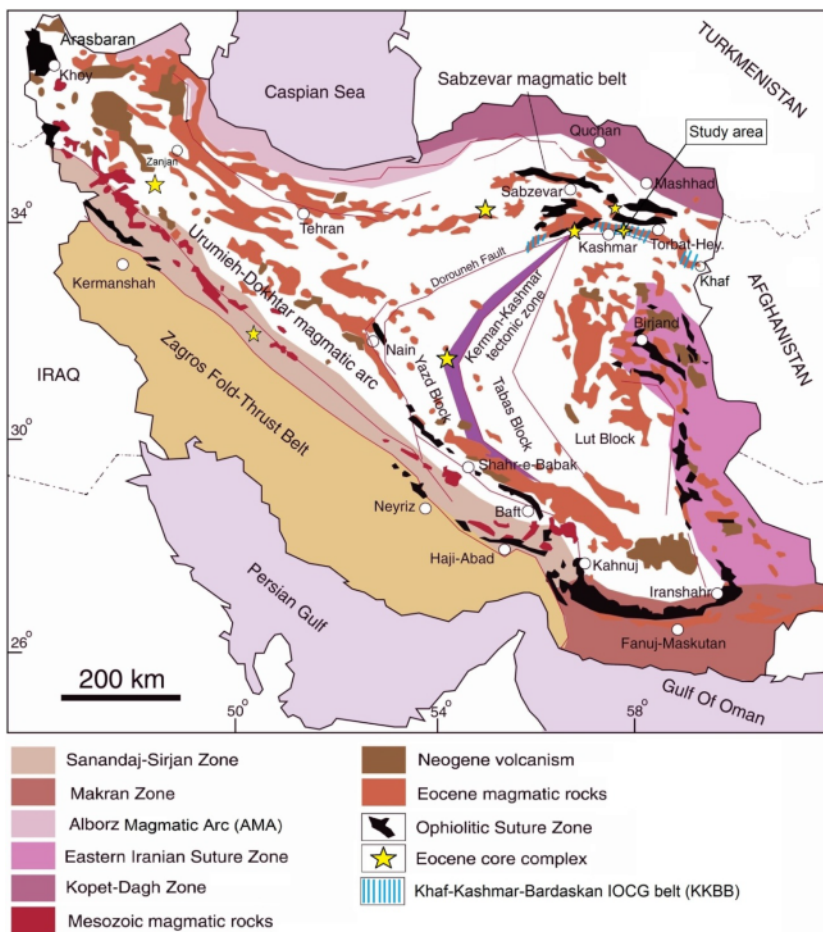
واژه‌های کلیدی: توده‌های نفوذی و نیمه عمیق؛ ژئوشیمی؛ ائوسن؛ کاشمر.

مقدمه-  
رژیم زمین ساختی مطلوب برای تشکیل گرانیتهای آهکی-قلیایی نوع I، محیط‌های رمبش (Collapse) و کشش پسا برخورد است که با نازک‌شدگی پوسته‌ای در اثر برخورد قاره‌ای دنبال می‌شود [۱، ۷، ۹، ۱۰].

در شمال شرق ایران یک منطقه‌ی ماقمایی-رسوی پیچیده با چند بلوک کنار هم، شامل بلوک لوت در جنوب، بلوک کپه داغ (توران = اورازیا) در شمال و منطقه‌ی البرز در شمال‌غرب دیده می‌شود که با خط درز سبزوار از هم جدا شده‌اند. در شمال شرق ایران، گرانیتوئیدهای نوع I کرتاسه تا ائوسن بین افیولیت‌های سبزوار-تر بت حیدریه در شمال و گسل درونه در جنوب رخمنون دارند (شکل ۱).

شناخت خاستگاه گدازه‌های گرانیتی نوع I بخارط اینکه مقدار بیشتری از پوسته‌ی قاره‌ای را تشکیل داده‌اند، و اغلب میزان ذخایر معدنی هستند، اهمیت بسیاری دارند. اعتقاد کلی بر این است که گرانیتهای با پتاسیم بالای نوع I از ذوب بخشی آذربین دگرگون شده‌ی پتاسیم بالای حدواتسط تا مافیک آبدار [۱، ۲] و/یا از اختلاط ماقماهای گوشته‌ای با گدازه‌های پوسته-ای مشتق شده‌اند [۳، ۴]. هضم متاپلیت‌ها به وسیله ماقماهای بازالتی نیز برای تولید گرانیتوئیدهای نوع I پیشنهاد شده است [۵، ۶]. گرانیتهای آهکی-قلیایی پتاسیم بالا در رژیم‌های غیرکوهزایی نادراند، ولی در محیط‌های حاشیه همگرا، بهویژه در رژیم‌های پسا برخورد، به فراوانی دیده شده‌اند [۱، ۷، ۸].

\*نویسنده مسئول، تلفن: ۰۵۱۳۸۸۰۴۰۵۱، نامبر: ۰۵۱۳۸۷۶۶۴۱۶، پست الکترونیکی: karimpur@um.ac.ir



شکل ۱ نقشه‌ی زمین‌شناسی ساده شده‌ی ایران را که دارای پراکندگی سنگ‌های ماقمایی ائوسن است نشان می‌دهد (با تغییراتی از [۱۱]، پراکندگی همبافت‌های هسته به عقیده‌ی [۱۳، ۱۲]؛ موقعیت منطقه‌ی مورد بررسی در مرز شمال گسل درونه و بلوک لوت نشان داده شده است).

۵۷/۲±۳/۷ میلیون سال را برای  $K/Ar$  هورنبلندر نشان داد ولی بعقیده‌ی [۱۱، ۱۷] تنها براساس شواهد صحرایی پلوتون‌های کاشمر ممکن است با سنگ‌های آتشفسانی کاشمر معادلهای نفوذی و بیرونی باشند. همه‌ی بررسی‌های سنگ‌شناسی پیشین روی کمربند شمال بلوک لوت ([۱۱، ۱۷، ۱۸]، روی گرانیتوئیدها صورت گرفته است. این اولین بررسی ژئوشیمی از همه‌ی توده‌های نفوذی مافیک-حدواسط و اسیدی در این ناحیه است. بررسی‌های سنگ‌شناسی و تعیین سن  $U-Pb$  زیرکن روی گرانیتوئیدهای سنگان ([۱۸]، ضمن معرفی آن‌ها به عنوان سری I و وابسته به فروزانش نثوتیس، جایگزینی آن‌ها را به ائوسن میانی (سن ۴۲ میلیون سال) نسبت داده است. بررسی‌های سال‌سنگی  $U-Pb$ -Rb-Sr قبلی ([۱۷]، گرانیتوئیدهای کاشمر را نیز به سال‌سنگی  $U-Pb$  مشخص کردند. داده‌های ما نشان می‌دهد که ائوسن میانی نسبت داده است. داده‌های ما نشان می‌دهد که توده‌های نفوذی مافیک-حدواسط و گرانیتوئیدهای همخون کاشمر، یک فاز ماقمایی ائوسن میانی مشخص را نشان می-

همبافت افیولیت سبزوار-تریت حیدریه به صورت غربی-شرقی بوده و بیش از ۴۰۰ کیلومتر گسترش داد و بخشی از شاخه‌ی اقیانوسی نئوتیس است (اقیانوس سبزوار) که در کرتاسه زیرین به صورت حوضه‌ی اقیانوسی اولیه نارس باز و در پائوسن زیرین بسته شد ([۱۴]).

در این مقاله، ما داده‌های سنگ نگاری و ژئوشیمیایی توده‌های نفوذی مافیک-حدواسط و گرانیتوئیدهای کاشمر شمال شرق ایران را در این ارائه داده‌ایم. منطقه‌ی مورد بررسی از نظر تقسیمات ساختاری در شمال بلوک لوت و گسل درونه ۳۰ کیلومتری شمال شرق شهرستان کاشمر در استان خراسان رضوی و در نقشه‌ی زمین‌شناسی (شکل ۱)، براساس نقشه زمین‌شناسی قرار گرفته است (شکل ۱). براساس نقشه زمین‌شناسی ۱:۱۰۰۰۰۰ در این منطقه توده‌های نفوذی مافیک-حدواسط و گرانیتوئیدی در سنگ‌های آتشفسانی نفوذ کرده‌اند. تنها داده‌ی سنی ایزوتوپی سنگ‌های آتشفسانی میزبان در شمال شهر کاشمر توسط ([۱۶]) گزارش شده، که سن

شده با مقیاس ۱:۲۰۰۰۰، واحدهای سنگی منطقه کاشمر، از قدیم به جدید به این صورت گزارش می‌شود (شکل‌های ۲ و ۳): سنگ‌های آتشفسانی با ترکیب بیشتر بازالت-آندریت-داسیت- توف-پیروکلاست که در سرتاسر منطقه خصوصاً نیمه‌شمالی، گسترش دارند. تودها و استوک‌های متوسط تا کوچک مافیک-حدواسط با ترکیب گابرو، دیوریت، کوارتز مونزودیوریت، مونزونیت در منطقه پراکنده‌اند (شکل ۳ الف). چند استوک کوچک کوارتز گابرو/کوارتزمونزونیت متفاوت از سنگ‌های دیگر مافیک دیده شدن. گرانیت‌وئیدها (با طیفی از گرانودیوریت، مونزوگرانیت تا گرانیت قلیایی و مقدار کم کوارتزمونزونیت) بر اثر فرسایش واحدهای آتشفسانی در بخش‌های جنوبی منطقه رخنمونی گسترده یافته‌اند (اشکال ۳ الف و ب). گرانیت‌وئیدها (با طیفی از گرانودیوریت، مونزوگرانیت تا سینوگرانیت و گرانیت قلیایی و مقادیر کم از کوارتزمونزونیت و دایک‌های آپلیتی معادل آن‌ها) که بر اثر فرسایش واحدهای آتشفسانی در بخش‌های جنوبی منطقه رخنمون یافته‌اند. برونبوهمهای ریزدانه به صورت لخته‌های مافیک و/یا انباشت بلورهای هورنبلند (ترکیب هورنبلند دیوریت) به رنگ سبز در متن گرانیت‌وئیدها دیده می‌شوند (شکل ۳. پ).

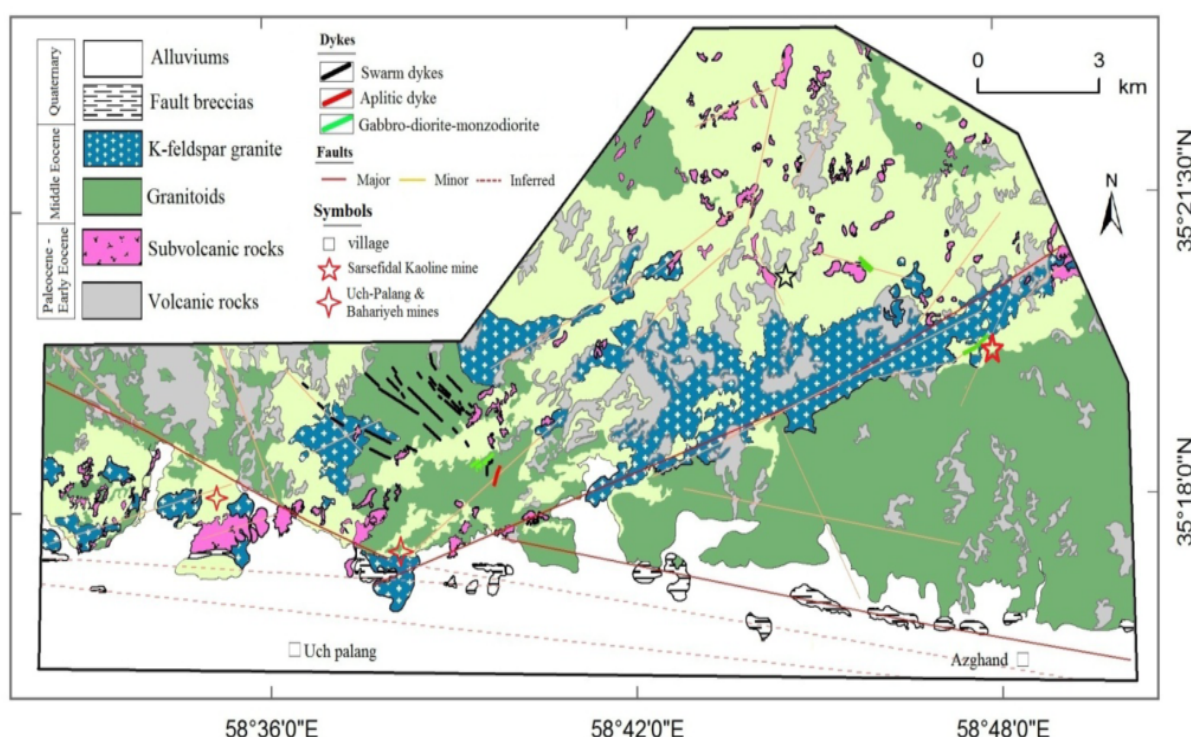
دهند که این ماغماها از ذوب پوسته‌ی قاره‌ای با دخالت گدازه‌های گوشته‌ای تشکیل شد که با فرآیند تبلور جدایشی (AFC) دنبال شده است. نتایج ما دارای مفهوم‌های مهمی برای شناخت چارچوب ژئودینامیکی ماقماتیسم اوسن در ایران دارد.

#### مراحل پژوهش

۱۵۰ نمونه‌ی سنگی از واحدهای مختلف منطقه برداشت و پس از بررسی‌های سنگنگاری، نقشه‌ی زمین‌شناسی با مقیاس ۱:۲۰۰۰۰ تهیه شد. بین نمونه‌ها ۲۴ نمونه از تودهای نفوذی و نیمه عمیق با کمترین دگرسانی انتخاب و برای تجزیه به آزمایشگاه Acme کانادا ارسال شدند. نمونه‌های سنگ‌شناسی برای عناصر اصلی به روش XRF و عناصر فرعی و کمیاب به روش ذوب قلیایی (ICP-MS(4A-4B code) تجزیه شدند. پذیرفتاری مغناطیسی گرانیت‌وئیدها منطقه‌ی کاشمر با حساسیت سنج مغناطیسی GMS2 مدل Cintrex شرکت سینترکس کانادا (با دقت  $SI^{-5} \times 10^{-5}$ ) اندازه گیری شد.

#### زمین‌شناسی

بر پایه‌ی بررسی‌های صحرایی (روابط قطع شدگی و ویژگی‌های نمونه‌ی دستی) و آزمایشگاهی، و نقشه‌ی زمین‌شناسی تهیه



شکل ۲ نقشه‌ی زمین‌شناسی منطقه‌ی مورد بررسی کاشمر با مقیاس ۱:۲۰۰۰۰.



شکل ۳ تصاویر صحرایی و میکروسکوپی سنگ‌های آتشفشاری، توده‌های نفوذی و نیمه عمیق در منطقه‌ی کاشمر. (الف) نمای کلی صحرایی از واحدهای سنگی و روابط بین آن‌ها؛ (ب) قطع شدگی واحد آتشفشاری توف داسیتی با گرانیت؛ (پ) برونومهای مافیک در گرانیت؛ (ت) قطع شدن گرانیت بهوسیله‌ی گرانیت قلیایی؛ (ث) پیروکسن در گلابرو پورفیری در نور XPL؛ (ج) هورنبلند بیوتیت در کوارتزمنزودیوریت/موزنوزنیت در نور XPL و (چ) هورنبلند در گرانیت در نور XPL. اختصارها: plg: پلاژیوکلاز؛ hbl: بیوتیت؛ bt: هورنبلند؛ px: پیروکسن؛ qz: کوارتز

آن با گرانیت قلیایی است. دسته دایک‌های موازی کوارتز منزودیوریتی با روند شمال‌غربی- جنوب‌شرقی جوانترین واحدهای منطقه را تشکیل می‌دهند (شکل ۳ الف). احتمالاً دسته‌دایک‌ها رخنمون از توده‌ی ماقمایی مافیک- حدواسط در عمق منطقه هستند. به استثنای دسته دایک‌ها، همهی واحدهای دستخوش دگرسانی شده‌اند. هم‌جواری دسته دایک‌های با نقاطاً با شدیدترین دگرسانی، می‌تواند نشان دهنده‌ی رابطه‌ی دگرسانی‌ها با نفوذ ماقمای عامل دسته‌دایک‌های موازی باشد. در این مقاله می‌پردازیم به ویژگی‌های سنگ نگاری و ژئوشیمی توده‌های نفوذی و نیمه‌عمیق مافیک تا اسیدی کاشمر. نتایج دارای مفهومهای مهمی برای شناخت چارچوب ژئودینامیکی ماقماییسم ائوسن در ایران.

بیشترین رخنمون در منطقه به گرانودیوریت، گرانیت و گرانیت قلیایی وابسته است (شکل ۳ الف). توده‌ی گرانیت قلیایی (شکل ۳ ت) و دایک آپلیتی جوانتر از مجموعه‌های قبلی، به طور مشخص با روند شمال‌شرقی- جنوب‌غربی در منطقه نفوذ کرده‌اند. فلسی شدن گرانیت در محل نفوذ گرانیت قلیایی وجود نوارهای ضعیف کانی‌های فرومیزین در برخوردگاه آن‌ها از شواهد قطع شدن آن به وسیله‌ی گرانیت قلیایی است. دایک‌های منطقه به چند دسته تقسیم می‌شوند (شکل ۲): (۱) دسته‌دایک‌های موازی، (۲) دایک آپلیتی، و (۳) دایک‌های با ترکیب مافیک- حدواسط وابسته به توده‌های نفوذی مافیک- حدواسط. دایک آپلیتی فقط در یک منطقه رخنمون داشته و ویژگی‌های کانی‌شناسی میکروسکوپی آن نشان دهنده‌ی ارتباط

## سنگ نگاری

### توده‌های نفوذی مافیک و گروه دایک‌های موازی

این سنگ‌ها با بافت میان‌دانه، پورفیری، افیتیک و گلومرپورفیری دارای ترکیب متنوعی از کوارتز گابرو، گابرو، دیوریت، کوارتز‌مونزونیت/مونزونیت، کوارتز دیوریت-مونزونیت، کوارتز مونزونیت - مونزوندیوریت هستند. این سنگ‌ها به پیروی از نام سنگ دارای کانی‌های اصلی، تیره و فرعی متعارف (درصد حجمی کانی‌ها در توضیحات زیر آورده شده است) شامل پلازیوکلاز کلسیک-سدی (منطقه‌بندی عادی) (تجزیه نقطه‌ای پلازیوکلاز توسط [۱۸]، پیروکسن، هورنبلند، بیوتیت، کوارتز، آپاتیت، مگنتیت، زیرکن و تیتانیت هستند.

### کوارتز گابرو/کوارتز مونزوندیوریت

بافت میان‌دانه‌ای و شامل ۳ تا ۱۳ درصد کوارتز با اندازه‌ی ۰/۲ میلی‌متر، ۳۰ تا ۴۰ درصد توفال‌های پلازیوکلاز با اندازه‌ی بیش از ۱ میلی‌متر، ۵ تا ۳۵ درصد فلدسپار پتاسیم (ارتوز) با اندازه‌ی ۰/۵ میلی‌متر، کمتر از ۱۵ درصد پیروکسن با اندازه‌ی ۱ میلی‌متر است. کانی‌های فرعی شامل مگنتیت و آپاتیت می‌شوند.

### هورنبلند پیروکسن گابرو/گابرو دیوریت پورفیری

بافت پورفیری با خمیره ریز‌سنگی و بافت‌های دیگری مثل افیتیک و گلومرپورفیری است (شکل ۳. ث). کانی‌هایی به صورت فنوکریست و زمینه در سنگ (بر حسب درصد) شامل پلازیوکلاز (۸۵-۹۰)، پیروکسن (۶-۷)، هورنبلند (۵) و کانی ۳ کدر (۳) است. فنوکریست‌ها شامل پلازیوکلاز (با اندازه‌ای تا ۳ میلی‌متر، دارای منطقه‌بندی و ردی از پلی سنتیک)، پیروکسن و هورنبلند است. زمینه ۶۵ درصد سنگ از ریزبلوهرهای پلازیوکلاز و پیروکسن‌های ریز تشکیل شده، و کانی فرعی سنگ آپاتیت است.

### گروه دایک‌های موازی کوارتز مونزوندیوریت/دیوریت

این دایک‌ها دارای بافت پورفیری و گلومرپورفیری است. اندازه دانه‌ها ریز تا درشت بوده و بیشتر از پلازیوکلاز (۶۰-۶۵) و بقایای پیروکسن (تبديل به اپیدوت)، آپاتیت و مگنتیت تشکیل شده‌اند. دگرسانی گرمابی روی این سنگ‌ها تاثیری نداشته است (براساس روابط صحرایی به دلیل نزدیک بودن محل نفوذ دسته‌ی دایک‌ها و محل شدیدترین دگرسانی‌ها، ماجمای مولد این دایک‌ها احتمالاً عامل دگرسانی در کاشمر است) ولی

واکنش‌های قهقهایی را تجربه کرده‌اند و در شرایط فشار-دمای بعد از جایگزینی، به تعادل دوباره رسیده‌اند. این حالت با اورالیتی و سوسوریتی شدن به ترتیب پیروکسن‌ها و پلازیوکلازها مشخص شده است. توصیف یک نمونه با نام هورنبلند کوارتز دیوریت-مونزوندیوریت بدین شرح است: بافت اصلی سنگ پورفیری با خمیره ریزبلووری و بافت فرعی گلومرپورفیری است. نوع و درصد حجمی کانی‌های سنگ شامل: پلازیوکلاز ۶۰ تا ۶۵، فلدسپار پتاسیم ۱۰ تا ۱۵، کوارتز ۷ تا ۹ و هورنبلند ۳ تا ۵ است. میزان فنوکریست ۳۵ تا ۴۰ درصد حجم سنگ را تشکیل داده که غالباً پلازیوکلاز با اندازه تا ۰/۵ میلی‌متر و کوارتز تا ۱ میلی‌متر است. اندازه‌ی کانی‌های هورنبلند متوسط و کانی‌های آن غالباً ریزبلوور پلازیوکلاز و کمی کوارتز و فلدسپار پتاسیم است، و کانی فرعی آپاتیت و مگنتیت است.

هورنبلند بیوتیت کوارتز مونزوندیوریت/دیوریت پورفیری بافت سنگ پورفیری است. کانی‌های اصلی پلازیوکلاز، کوارتز ۵-۱۰ درصد، بیوتیت ۱۰-۱۵ درصد، هورنبلند ۲-۳ درصد و کانی کدر ۲-۳ (با اندازه‌ی متوسط و شکل دار تا نیمه شکل دار) است. میزان فنوکریست سنگ ۳۵ (درصد) و غالباً پلازیوکلاز (به اندازه‌ی ۲/۵-۲ میلی‌متر)، بیوتیت (به اندازه‌ی ۰/۷-۰/۶ میلی‌متر) و هورنبلند است. زمینه شامل فلدسپار پتاسیم (۴۰-۴۵ درصد)، کوارتز (۱۰-۱۵ درصد) و پلازیوکلاز ۲۵-۳۵ درصد) و کانی کدر ریز، تا چند درصد، و کانی‌های فرعی؛ آپاتیت و زیرکن است. دگرسانی سنگ در برخی نقاط منطقه جزئی است ولی در جایی که شدید است، شامل آرژیلیک (۰-۴۰ درصد)، اپیدوت (۱۰-۱۲ درصد) و کلریتی ۲-۳ درصد) است.

### گرانیت‌وئیدها

گرانیت‌وئیدهای کاشمر دارای اندازه میان‌دانه به اندازه یک تا چند میلی‌مترند. بازه‌ی ترکیبی آن‌ها از گرانودیوریت تا مونزون‌گرانیت و گرانیت قلیایی و مقادیر کم از کوارتز مونزوندیوریت است (اشکل ۳ ج و چ). از این رو با توجه به فراوانی و نوع کانی‌های موجود در هر کدام، رنگ نمونه دستی گرانیت‌وئیدها از سفید کرمی تا خاکستری روشن و صورتی روشن تغییر می‌کند. نوع و درصد حجمی کانی‌های سنگ و بافت از نوع متعارف در گرانودیوریت، مونزون‌گرانیت تا سینوگرانیت و گرانیت قلیایی متغیر است. کانی‌های اصلی و فرعی شامل: پلازیوکلاز سدیک-کلسیک (آلبیت-الیگوکلاز-

ایلمنیت کمتر از این مقدار است. با اندازه‌گیری پذیرفتاری مغناطیسی گرانیتوئیدهای کاشمر، معلوم شد که مقدار آن از ۲ تا  $SI^{(5)} \times 10^{-1654}$  را نشان می‌دهد. براین اساس گرانیتوئیدها ویژگی مگنتیتی-ایلمنیتی نشان می‌دهند (شکل ۴).

### ژئوشیمی

نتایج تجزیه اکسیدهای اصلی و عناصر فرعی و کمیاب در جدول ۱ آمده‌اند. مقدار  $SiO_2$  از  $50.81 \pm 71.81$  تا  $50.81$  متغیر است. جهت نامگذاری سنگ‌ها براساس اکسیدهای اصلی، از نمودار سنگ‌های پلوتونیک  $Na_2O + K_2O$  در مقابل  $SiO_2$  [۲۳] (شکل ۵ الف) استفاده شد. توده‌ها در بازه‌ی گسترده‌ای از دیوریت گابرویی، مونزونیت، کوارتز مونزودیوریت، گرانودیوریت و گرانیت قرار می‌گیرند. براساس نمودار AFM [۲۴] (شکل ۵ ب)، همه‌ی نمونه‌ها در قلمرو آهکی-قلیایی قرار می‌گیرند، به استثنای دو نمونه مافیک (نمونه‌ی کوارتز مونزوگابرو BP-104) و یک نمونه کوارتز مونزونیت-مونزونیت (نمونه ۲۵-BP) که در قلمروی تولیتی قرار دارند. باستثنای سه نمونه (دو نمونه مافیک یادشده در شکل ۵ ب و یک نمونه اسیدی)، همه‌ی نمونه سنگ‌های نفوذی و نیمه عمیق کاشمر در نمودار  $K_2O$  در برابر  $SiO_2$  [۲۵]، در قلمروی سری‌های آهکی-قلیایی پ TASIM بالا تا شوشونیتی قرار می‌گیرند (شکل ۵ پ).

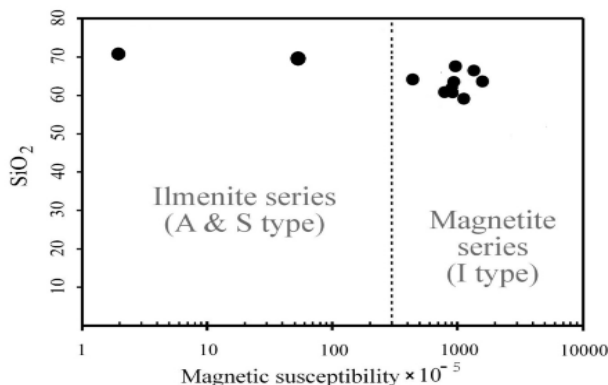
یک نمونه اسیدی به دلیل پایین بودن  $K_2O$  در قلمرو تولیتی قرار گرفت، که علت آن بالا بودن مقدار  $Na_2O$  است (شکل ۵ پ و جدول ۱). در نمودار رده‌بندی سنگ‌ها با شاخص اشباع آلومینیوم [۲۶] (شکل ۵ ت)، همه‌ی سنگ‌ها ویژگی متال‌الومین ( $Al/CNK < 1.1$ ) تا پرآلومین ضعیف (ASI) تا  $1/1$  نشان می‌دهند. مقدار  $Al/CNK < 1.1$  برای اغلب نمونه‌ها موید ویژگی متال‌الومین و واپشتگی آن‌ها به سری I است. سه نمونه مافیک (نمونه‌ی کوارتز مونزوگابرو BP-104) و دو نمونه کوارتز مونزونیت-مونزونیت (نمونه‌های BP-14 و BP-25) با مقدار  $ASI = 2.32 - 3.31$  ویژگی پرآلومین قوی و با کمترین مقادیر  $SiO_2$  و  $CaO$  و بیشترین مقادیر  $MgO$ ، فاقد دگرسانی ولی دارای LOI بالا هستند (جدول ۱). علاوه بر فراوانی اسید عناصر اصلی سدیم، پ TASIM و منیزیم، غنی‌شدگی در عناصر با شدت میدان بالا (HFSE) مانند Ti, Zr, Y, Ta, Nb و P شاخص لامپروفیرها هستند. مگماهای لامپروفیری غنی از مواد فرار در محدوده‌ای از فرایاری تا حدواتر و با ترکیب پ TASIM

آنذین) (با بازه ۲۰ تا  $55 \pm 55$  درصد حجمی)، فلدسپار پ TASIM (با بازه ۷۰-۲۵، کوارتز (غالباً بیش از ۲۰)، هورنبلند و بیوتیت (غالباً بیش از ۵) است. کانی‌های مافیک شامل هورنبلند و بیوتیت است. وجود برونبوم در مقاطع میکروسکوپی به صورت درشت و بصورت لخته (clot) های مافیک کوچک و بلورهای منفرد پلازیوکلاز رایج است. پلازیوکلاز فراوانترین کانی موجود در این سنگ‌هاست که غالباً به صورت بلورهای نیمه شکل دار تا شکل دار وجود دارد. اندازه‌ی بلورهای پلازیوکلاز تا  $3 \text{ میلیمتر می‌رسد}$  که به سمت انواع اسیدی تر اندازه اشان کوچکتر و مقدارشان کمتر می‌شود. گاهی با نفوذی‌هایی از هورنبلند، اسید آهن-تیتان و بلورهای سوزنی دراز ولی غالباً منشوری آپاتیت دیده می‌شوند. ماکل پلی سنتیک رایجترین ویژگی دانه‌های پلازیوکلاز است. بلورهای پلازیوکلاز گرانودیوریت و گرانیت با منطقه‌بندی شخوصی دیده می‌شوند (بررسی‌های تجزیه نقطه‌ای [۱۷] روی پلازیوکلاز). فلدسپار پ TASIM نوع میکروکلین (ماکل هاشوری) و ارتوز (ماکل کارلسپاد) با آلبیت (ماکل مرکب) همزیست اند. کوارتز به صورت دانه‌های نیمه شکل دار و غالباً شکافهای بین کانی‌های را  $1.5 \text{ میلیمتر}$  دیده می‌شود و غالباً شکافهای کوارتز به صورت همرشدی‌های ریزبلوری و میرمکیتی دیده می‌شود. در گرانودیوریت و گرانیت، کوارتز حواشی خورده شده و خاموشی موجی نشان می‌دهد، که گاهی به صورت کوارتز حاوی نفوذی-هایی از آپاتیت و دیگر کانی‌های فرعی است. کانی‌های تیره‌ی این سری بیوتیت و هورنبلند و کانی‌های فرعی مگنتیت، آپاتیت و زیرکن است. هورنبلند بندرت به صورت بلورهای شکل دارند، ولی عموماً نیمه شکل دار با طرح پلئوکروئیک (چند رنگی) سبز کمنگ و سبز و زرد کهربایی با بیشترین میانگین اندازه‌ی دانه  $1/4 \text{ میلیمتر}$  است. هورنبلند همراه با بیوتیت، تیتانیت و اسید آهن-تیتان [۱۷] است. در یک نمونه هورنبلند گرانیت با نوع و درصد حجمی شامل پلازیوکلاز آنذین و گاهی الیگوکلاز [۱۷]  $30 \text{ تا } 40\%$ ، فلدسپار پ TASIM  $25 \text{ تا } 30\%$ ، کوارتز بیش از  $20\%$  هورنبلند  $10 \text{ تا } 12\%$ ، بیوتیت  $1 \text{ تا } 2\%$  و مگنتیت [۱۷]  $1 \text{ تا } 3\%$  است.

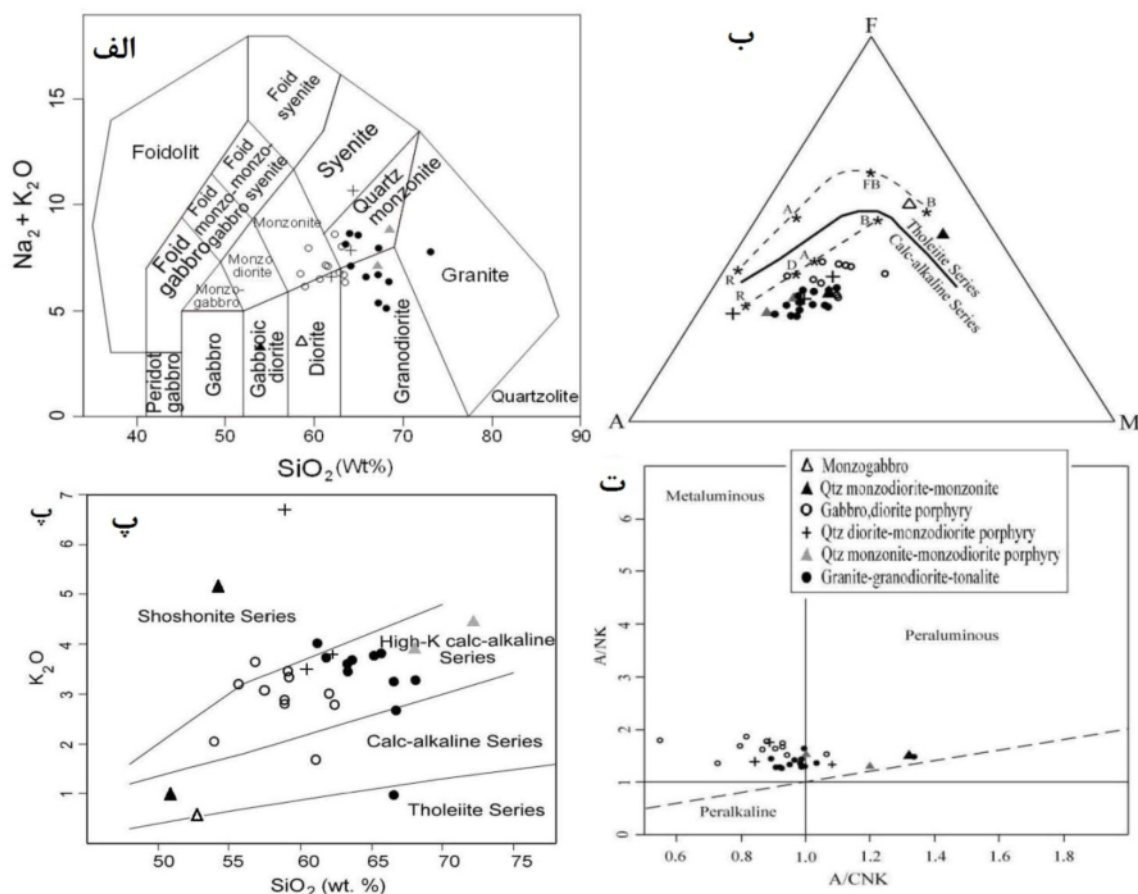
ایشی‌هارا [۲۰، ۲۱، ۲۲]، گرانیتوئیدها را به دو دسته مگنتیت (اسیدان) و ایلمنیت (احیایی) تقسیم کرد. عدد پذیرفتاری مغناطیسی (Magnetic susceptibility) گرانیتوئیدهای سری مگنتیت بیشتر از  $SI^{(5)} \times 10^{-300} \pm 100$  و سری

نمودار  $\text{SiO}_2$  در مقابل  $\text{Na}_2\text{O}+\text{K}_2\text{O}-\text{CaO}$  [۲۷] برای تعیین کلسیک یا قلیایی بودن گرانیت‌وئیدها (شکل ۶ الف)، گرانیت‌وئیدها در بازه آهکی–قلیایی تا قلیایی قرار می‌گیرند. براساس رده‌بندی Frost [۲۸] برای گرانیت‌وئیدهای نوع A و I گرانیت‌وئیدهای کاشمر در قلمرو منیزیم‌دار (نوع I) قرار می‌گیرند (شکل ۶ ب).

تا سدیک هستند که معمولاً به صورت دایک، لوپولیت، استوک و نفوذیهای کوچک دیده می‌شوند. سه نمونه کوارتز مونزوگابرو و کوارتز مونزوونیت-مونزوونیت ویژگی‌های بازالت تولیتی با آلومینیوم زیاد و سنگ‌های لامپروفیری را نشان می‌دهند. بازالت تولیتی آلومینیوم زیاد معمولاً در ابتدائی‌ترین مراحل فعالیت‌های ماقمایی مافیک در یک ناحیه نفوذ می‌کند. در



شکل ۴ نمایش گرانیت‌وئیدهای کاشمر در نمودار تعیین مقدار پذیرفتاری مغناطیسی (Magnetic susceptibility) گرانیت‌وئیدها از [۲۲].



شکل ۵ موقعیت توده‌های نفوذی و نیمه عمیق کاشمر در: (الف) نمودار  $\text{SiO}_2$  در برابر  $\text{Na}_2\text{O}+\text{K}_2\text{O}$  [۲۳]، (ب) نمودار  $\text{SiO}_2$  در برابر  $\text{Na}_2\text{O}+\text{K}_2\text{O}$ ، (ج) نمودار  $\text{A}: \text{Na}_2\text{O}+\text{K}_2\text{O}$ ، (د) نمودار تعیین اندازه آلومینیوم ( $\text{A}/\text{NK}-\text{A}/\text{CNK}$ ) [۲۶].

جدول ۱

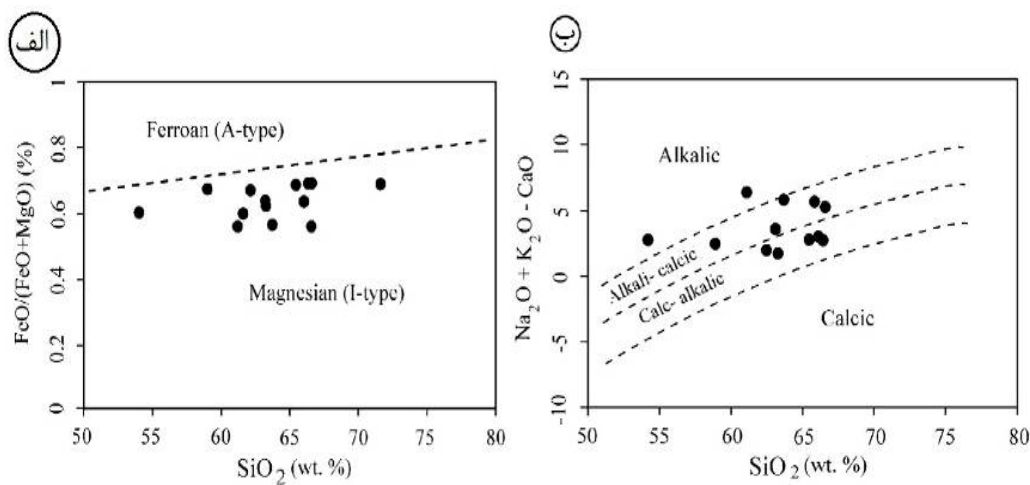
Sample	Mafic- intermediate rocks										KP-104 qz-mnzd
	BP-104 qz-gb/mnzd	BP-25 qz-gb/mnzd	BP-14 qz-gb/mnzd	KP-101 Dr/qz-dr	BP-24 Dr/qz-dr	BP-28 Dr/qz-dr	KP-22 Dr/qz-dr	KP-33 Dr/qz-dr	BP-4 qz-mnzd	SP-20 qz-mnzd	
SiO <sub>2</sub>	52.65	50.81	52.34	50.17	50.84	50.52	52.06	50.84	51.08	52.33	53.68
TiO <sub>2</sub>	0.98	1.41	0.84	0.64	0.81	0.86	-0.81	0.77	0.85	0.81	0.62
Al <sub>2</sub> O <sub>3</sub>	12.80	12.78	12.05	10.15	14.14	15.10	15.09	14.11	14.85	15.36	14.92
Fe <sub>2</sub> O <sub>3</sub>	13.9	1.50	0.64	0.60	0.79	0.79	0.61	0.68	0.77	0.50	0.50
FeO	11.25	12.21	5.19	4.86	6.38	6.40	4.98	5.02	6.26	4.85	4.05
MnO	0.22	0.54	0.12	0.16	0.18	0.21	-0.14	0.18	0.15	0.13	0.13
MgO	6.44	11.1	4.19	4.05	3.99	4.04	3.37	4.92	3.22	2.83	2.15
CaO	0.61	0.56	0.66	4.04	5.14	5.68	3.92	4.88	3.21	4.80	2.49
Na <sub>2</sub> O	2.62	2.12	1.86	2.45	2.46	2.93	3.55	3.97	4.91	3.45	4.61
K <sub>2</sub> O	0.54	0.92	0.10	2.38	2.18	3.07	2.99	3.64	1.68	2.78	3.65
P <sub>2</sub> O <sub>5</sub>	0.19	0.26	0.19	0.28	0.21	0.50	0.39	0.30	0.36	0.33	0.28
LOI	4.76	4.11	5.11	3.03	2.05	1.47	1.34	3.39	1.78	1.07	1.23
Total	94.64	98.32	91.29	99.29	99.12	99.07	99.25	99.22	99.12	99.24	99.38
A/CNK	2.13	2.32	1.33	-0.91	1.04	0.82	0.93	-0.73	-0.94	-0.88	-0.92
(ppm)											
Ba	81	279	983	535	465	76.	522	670	598	556	707
Be	2	<1	2	1	1	<1	3	<1	1	4	<1
Rb	12	17	1.02	74	50	60	71	74	31	74	71
Sr	56	58	150	377	381	514	404	281	335	379	259
Ga	17	18	15	17	16	18	16	17	16	16	16
Ta	0.8	0.4	0.5	0.5	0.7	0.7	0.8	0.5	0.7	0.8	0.8
Th	8.6	4.8	6.5	7.4	7.1	7.5	8.4	8	7.7	7.8	9.9
U	3.2	1.3	1.4	2.1	2.2	1.9	2.2	2	1.6	1.9	2.4
Zr	18.9	124	175	2.4	175	183	227	217	20.6	225	243
Hf	6	4	4	5	5	4	5	5	5	6	6
Y	2	22	22	28	25	27	30	26	30	33	31
Cs	1	1	1	11	1	8	4	1	1	2	1
Nb	11	8	9	10	11	10	13	10	10	13	12
Co	20	24	20	10	15	19	9	13	12	10	5
V	146	223	144	126	148	211	117	177	120	116	93
La	12.1	20.2	14.8	22	22.5	23.5	27.9	24.3	25.8	27.3	26.3
Ce	32.9	43.1	33.8	48.9	50	51.6	56.5	50.5	53.7	58.7	57.2
Pr	3.76	5.21	4.22	6.40	5.94	6.19	6.70	6.30	6.28	6.99	7.17
Nd	15.7	22.4	18.3	19.5	24.5	29	27.8	28.3	28.2	29.8	25.3
Sm	3.50	4.70	3.76	4.76	5.12	5.10	5.76	5.15	5.92	5.70	6.03
Eu	-0.50	1.09	-0.84	1.22	1.29	1.39	1.35	1.29	1.40	1.37	1.29
Gd	3.25	4.79	3.73	5.39	5.6	5.38	5.47	5.65	5.88	5.77	5.24
Tb	-0.01	-0.66	-0.57	-0.74	-0.80	-0.70	-0.77	-0.73	-0.80	-0.79	-0.79
Dy	3.70	4.12	4.23	4.45	4.91	4.35	4.82	4.64	4.73	5.31	4.30
Ho	-0.69	-0.81	-0.86	-0.92	-0.99	-0.87	-0.97	-0.90	-2.09	1	-0.96
Er	1.88	2.41	2.23	2.79	2.78	2.39	3.01	2.62	2.87	3.08	2.14
Tm	-0.35	-0.35	-0.38	-0.43	-0.44	-0.37	-0.45	-0.44	-0.40	-0.47	-0.45
Yb	2.35	2.32	2.63	2.78	2.80	2.68	2.81	2.75	2.06	2.76	2.09
Lu	-0.35	-0.48	-0.36	-0.41	-0.45	-0.37	-0.48	-0.44	-0.47	-0.47	-0.52
(La/Yb)n	6.69	5.96	5.68	5.1	5.90	5.91	6.69	5.96	5.81	6.67	6.67
Eu/Eu*	-1.45	-0.70	-0.69	-0.74	-0.74	-0.81	-0.74	-0.73	-0.73	-0.73	-0.70
ΣREEs	11.2	112.5	90.7	123.5	130	133.9	144.8	134	140.5	149.5	141.1

جدول ۱

Sample	Mafic- intermediate rocks								Dyke swarm		Granitoids	
	KP-24	KP-60	KP-57	KP-41	BP-11	BP-102	KP-102		R15907*	R15924	SP-7	
(Wt %) SiO <sub>2</sub>	qz-mnzd	qz-mnzd/mn	qz-dr/mnzd/r	qz-dr/mnz	qz-mnzd/mn	qz-mnzd	grd/qzm nzd	Qz-dr/ mnzd/r	grd	tn/grd	gr	
	۶۱,۲۲	۶۵,۹۸	۶۰,۶۱	۶۱,۵۳	۶۵,۹۲	۶۷,۲۱	۶۱,۸۳	۶۲,۲۸	۵۹,۰۱	۵۴,۳۵	۶۲,۳۱	
TiO <sub>2</sub>	۰,۶۴	۰,۶۰	۰,۷۷	۰,۶۳	۰,۵۴	۰,۵۷	۰,۶۹	۰,۷۳	۰,۸۱	۰,۸۰	۰,۶۵	
Al <sub>2</sub> O <sub>3</sub>	۱۴,۸۵	۱۴,۹۸	۱۵,۰۸	۱۶,۳۱	۱۴,۳۶	۱۴,۴۳	۱۴,۶۵	۱۴,۲۷	۱۶,۰۴	۱۶,۸۰	۱۵,۳۵	
Fe <sub>2</sub> O <sub>3</sub>	۰,۵۰	۰,۴۵	۰,۶۶	۰,۵۰	۰,۵۲	۰,۴۹	۰,۵۷	۰,۵۹	۰,۷۶	۰,۹۵	۰,۵۶	
FeO	۴,۰۵	۳,۶۰	۵,۳۵	۴,۰۹	۴,۲۴	۳,۹۷	۴,۶۱	۴,۷۴	۶,۱۸	۷,۷۰	۴,۵۵	
MnO	۰,۴۲	۰,۰۹	۰,۱۲	۰,۱۸	۰,۱۱	۰,۱۲	۰,۱۴	۰,۱۳	۰,۱۰	۰,۱۰	۰,۱۲	
MgO	۲,۲۴	۲,۰۱	۳,۹۱	۱,۱۰	۲,۸۲	۱,۹۵	۳,۱۲	۳,۰۱	۲,۷۶	۴,۲۷	۲,۸۲	
CaO	۱,۹۳	۲,۰۹	۴,۶۱	۱,۴۲	۰,۷۳	۰,۴۶	۳,۴۵	۳,۵۱	۴,۲۶	۴,۱۸	۳,۲۹	
Na <sub>2</sub> O	۴,۲۳	۴,۰۴	۲,۹۷	۲,۲۰	۲,۱۸	۲,۷۲	۴,۱۷	۳,۸۶	۴,۱۵	۴,۸۱	۳,۳۶	
K <sub>2</sub> O	۴,۰۷	۳,۹۰	۳,۴۷	۱,۱۸	۳,۸۴	۴,۸۸	۳,۷۲	۳,۷۸	۲,۸۷	۲,۰۴	۳,۶۱	
P <sub>2</sub> O <sub>5</sub>	۰,۴۴	۰,۲۰	۰,۲۷	۰,۲۷	۰,۱۷	۰,۲۰	۰,۳۸	۰,۲۸	۰,۲۱	۰,۲۰	۰,۲۵	
LOI	۲,۲۵	۱,۴۸	۱,۴۲	۲,۹۶	۱,۱۲	۱,۳۸	۱,۹۶	۲,۱۲	۱,۶۲	۲,۶۰	۱,۴۷	
Total	۹۷,۹۵	۹۹,۴۲	۹۹,۲۴	۹۹,۳۷	۹۹,۳۶	۹۹,۳۸	۹۹,۲۹	۹۹,۲۹	۹۹,۶۵	۹۹,۸۰	۹۹,۳۴	
A/CNK	۱	۰,۹۴	۰,۸۹	۱,۰۸	۱,۱۰	۰,۹۷	۰,۸۵	۰,۸۸	۰,۹۹	۱,۰۹	۱	
(ppm)												
Ba	۸,۰۸	۶۶۲	۵۴۵	۹۹۱	۵۴۷	۱۴۷۵	۷۰۱	۷۲۳	۵۰,۵	۲۹۵	۶۶۷	
Be	<1	۳	۱	<1	۴	۱	۳	۱			۱	
Rb	۱,۰۹	۷۷	۷۳	۱۷۳	۹۴	۸۰	۸۷	۶۵	۵۵	۷۲	۷۳	
Sr	۱۹۱	۳۴۷	۳۳۱	۱۱۵	۳۹۳	۱۲۹	۳۵۴	۳۵۹	۳۶۳	۳۱۵	۳۴۰	
Ga	۱۶	۱۶	۱۵	۱۴	۱۴	۱۴	۱۶	۱۵	۱۸	۱۹	۱۷	
Ta	۰,۷	۰,۹	۰,۶	۰,۹	۰,۷	۰,۹	۰,۹	۰,۸	۱۱	۳	۱,۹	
Th	۹,۵	۱۲,۱	۹,۲	۹,۷	۱۳,۵	۱۱,۲	۱۱,۲	۸,۸	۲	۲	۱,۵	
U	۲,۵	۲,۹	۲,۱	۲	۳,۶	۳,۳	۲,۳	۲,۶	۱۴۴	۸۴	۲۵۷	
Zr	۲۰,۱	۲۲۲	۲۲۹	۲۱۸	۱۶۷	۲۲۳	۲۵۱	۲۱۵	۳۳	۳۰	۲۵	
Hf	۵	۶	۵	۶	۵	۷	۶	۶	۸	۴	۱۱	
Y	۲۴	۳۱	۲۸	۲۵	۱۹	۲۸	۳۱	۲۹	۱۹,	۲۲,	۸	
Cs	۳	۲	۴	۳	۳	۱	۴	۱	۶۰	۲۵	۳	
Nb	۱۱	۱۴	۱۲	۱۱	۸	۱۳	۱۵	۱۲	۱۹,	۲۲,	۹	
Co	۷	۷	۱۴	۵	۱۰	۴	۱۱	۱۰	۲۶	۱۴	۲۹,۱	
V	۸۶	۷۳	۱۴۴	۸۷	۱۰۶	۵۷	۱۲۰	۱۰۶	۶۰	۲۵	۵۵,۸	
La	۲۲,۳	۳۳,۴	۲۷	۲۳,۱	۲۴,۱	۲۰,۸	۲۰	۲۸,۸	۶,۴۴	۲۲,۵	۴,۵۴	
Ce	۶۲,۹	۶۷,۷	۵۴,۲	۵۰,۵	۴۸,۳	۵۹,۵	۶۴,۵	۶۰	۶,۰	۲۵	۰,۹۷	
Pr	۷	۷,۵۳	۶,۳۷	۶,۴۵	۵,۴۱	۷,۱۶	۷,۷۶	۶,۹۸	۶,۴۴	۴,۴۰	۰,۸۲	
Nd	۲۷,۱	۳۰,۶	۲۲,۴	۲۵,۴	۲۰,۶	۲۷,۹	۲۷,۶	۲۸,۹	۲,۳۱	۴,۲۱	۰,۷۹	
Sm	۴,۷۷	۶,۱۲	۵,۲۸	۵,۱۵	۴,۳۱	۵,۴۳	۶,۷۶	۵,۸۷	۰,۳۸	۲,۶۶	۰,۴۲	
Eu	۱,۰۶	۱,۴۰	۱,۱۵	۱,۰۱	۰,۹۵	۱,۱۹	۱,۳۶	۱,۴۷	۱,۱۳	۰,۷۶	۰,۹۷	
Gd	۴,۴۷	۶,۷۶	۵,۳۱	۴,۸۵	۴	۵,۶۴	۵,۷۱	۶,۱۴	۰,۳۸	۰,۴۰	۰,۷۹	
Tb	۰,۶۵	۰,۹۴	۰,۷۳	۰,۶۸	۰,۶۰	۰,۸۲	۰,۸۱	۰,۸۸				
Dy	۴,۰۷	۵,۹۴	۴,۲۵	۳,۹۳	۳,۴۰	۵,۷۴	۵,۴۰	۵,۴۰				
Ho	۰,۸۵	۱,۱۸	۰,۸۶	۰,۸۷	۰,۸۵	۱,۰۸	۱,۰۵	۱,۱۳				
Er	۲,۳۲	۳,۵۵	۲,۵۷	۲,۴۷	۲,۰۴	۲,۱۶	۲,۸۸	۲,۱۳				
Tm	۰,۳۶	۰,۵۵	۰,۴۰	۰,۳۸	۰,۳۳	۰,۴۸	۰,۴۴	۰,۴۸				
Yb	۲,۵۱	۳,۸۷	۲,۸۱	۲,۴۴	۲,۱۴	۲,۴۷	۲,۹۷	۲,۲۲				
Lu	۰,۳۸	۰,۵۴	۰,۴۴	۰,۴۱	۰,۳۳	۰,۴۳	۰,۴۳	۰,۴۸				
(La/Yb)n	۰,۲۹	۰,۸۲	۰,۷۹	۰,۳۸	۰,۰۸	۰,۰۹	۰,۰۹	۰,۰۳				
Eu/Eu*	۰,۷۰	۰,۶۷	۰,۶۶	۰,۶۳	۰,۱۷	۰,۷۰	۰,۶۷	۰,۷۵				
ΣREEs	۱۵۰,۷	۱۷۰	۱۳۳,۶	۱۲۷,۳	۱۱۷,۲	۱۵۲,۹	۱۵۷,۶	۱۵۲,۹	۱۳۵,۱			

جدول ۱

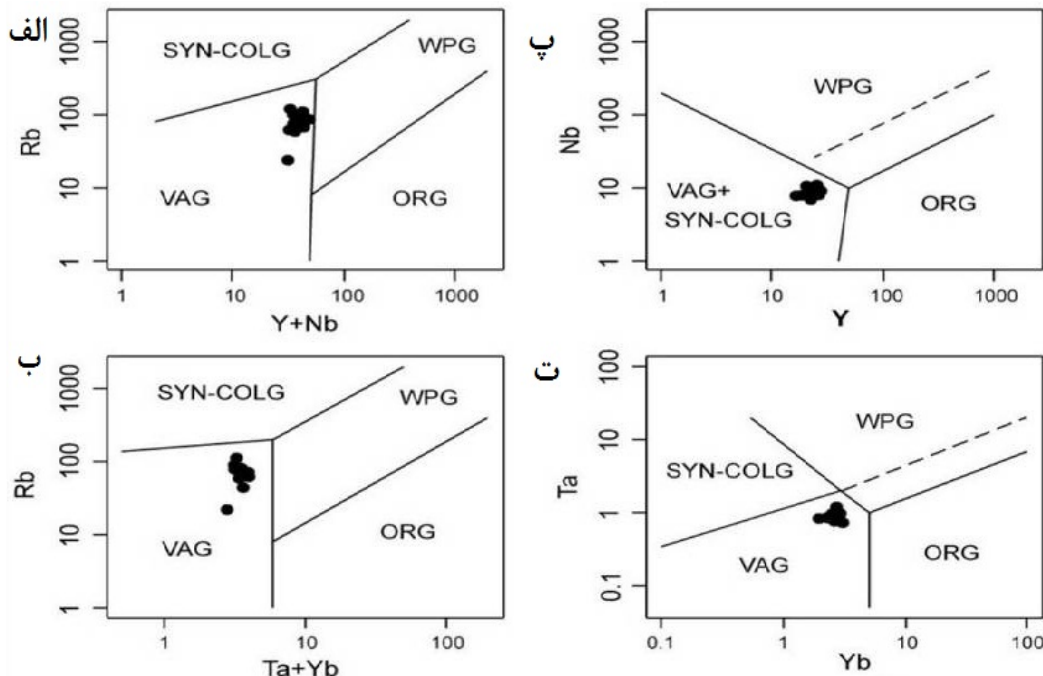
Sample	Granitoids									
	SP-101	BP-101	SP-22	BP-13	R15908*	R15958*	R15918*	R15910*	R15915*	R15909*
(Wt %)	gr	gr	gr	gr	gr	gr	gr	gr	Kf-g	Kf-g
SiO <sub>2</sub>	66.55	62.68	61.23	65.98	62.30	66.44	65.33	62.42	66.41	71.11
TiO <sub>2</sub>	0.17	0.62	0.64	0.60	0.63	0.45	0.49	0.59	0.46	0.26
Al <sub>2</sub> O <sub>3</sub>	14.18	14.92	14.85	14.98	16.02	15.24	15.53	15.37	15.22	13.77
Fe <sub>2</sub> O <sub>3</sub>	0.58	0.50	0.50	0.45	0.53	0.39	0.45	0.54	0.39	0.22
FeO	4.68	4.05	4.05	3.80	4.22	2.13	2.82	4.37	3.16	1.80
MnO	0.23	0.13	0.42	0.09	0.09	0.08	0.08	0.10	0.06	0.03
MgO	3.78	3.15	3.24	2.01	1.93	1.39	1.65	2.36	1.41	0.70
CaO	0.66	2.49	1.93	2.09	4.01	2.39	2.37	4.71	3.23	2.04
Na <sub>2</sub> O	5.08	4.68	4.23	4.04	3.81	2.63	2.70	3.34	3.89	3.10
K <sub>2</sub> O	0.97	3.65	4.07	3.90	2.75	2.21	2.23	3.39	2.83	4.62
P <sub>2</sub> O <sub>5</sub>	0.25	0.28	0.54	0.20	0.18	0.12	0.14	0.17	0.13	0.06
LOI	1.52	1.23	2.25	1.48	1.03	1.77	1.61	1.37	1.61	2.04
Total	99.35	99.38	97.95	99.42	98.75	99.94	99.77	100.38	99.3	100.80
A/CNK	1.34	0.92	1	0.94	0.92	0.96	0.99	0.87	0.99	0.99
(ppm)										
Ba	276	7.7	8.8	662	515	530	515	440	595	580
Be	2	>1	>1	3						
Rb	21	71	1.9	77	59	80	88	103	62	145
Sr	128	259	191	347	342	269	288	315	273	188
Ga	12	16	16	16	18	16	17	16	15	13
Ta	0.8	0.8	0.7	0.9						
Th	9.4	9.9	9.5	12.1	5.3	10.9	10.1	10.7	10.8	17.6
U	1.9	2.4	2.5	2.9	0.9	1.5	2.3	1.8	3.1	4.6
Zr	20.3	243	20.1	222	198	170	174	180	180	148
Hf	6	6	5	6	4.8	9.4	4.6	4.9	4.6	4
Y	23	31	24	21	22	22	22	23	22	16
Cs	1	1	3	2	0.9	1.2	2.7	5	2.6	5
Nb	1.0	12	11	14	8	8	8	8	8	8
Co	6	7	7	7						
V	69	93	86	73	96	58	78	10.8	62	30
La	23.8	26.3	32.3	33.4	17.4	25	22	22	21.5	24.5
Ce	50.5	57.2	62.9	67.7	36.5	50	44	45	42.5	45.5
Pr	5.36	7.17	7	7.03						
Nd	20.9	25.3	27.1	30.6	17.4	20.5	18.2	20	17.6	15.8
Sm	4.04	6.03	4.77	6.12	4	3.4	4	4.2	3.9	3.3
Eu	1.06	1.29	1.06	1.40	1.11	0.94	0.87	0.93	0.87	0.57
Gd	3.95	5.24	4.47	6.76	3.60	3	3.70	3.370.80	3.60	3.30
Tb	0.57	0.79	0.65	0.94	0.54	0.50	0.85	0.85	0.62	0.55
Dy	3.67	4.30	4.07	5.94						
Ho	0.66	0.96	0.85	1.18	0.75	0.65	0.90	0.95	0.95	0.80
Er	2.25	3.14	2.22	3.55						
Tm	0.34	0.45	0.36	0.55						
Yb	2	3.9	2.51	3.87	2.10	2.35	2.30	2.15	2.40	1.90
Lu	0.36	0.52	0.38	0.54	0.34	0.39	0.37	0.35	0.38	0.29
(La/Yb)n	568	667	529	582	560	7.19	646	691	6.05	8.71
Eu/Eu*	0.81	0.70	0.70	0.67	0.88	0.88	0.88	0.89	0.70	0.52
ΣREEs	119.5	141.8	150.7	170	183.74	106.73	96.99	105.55	94.32	96.51



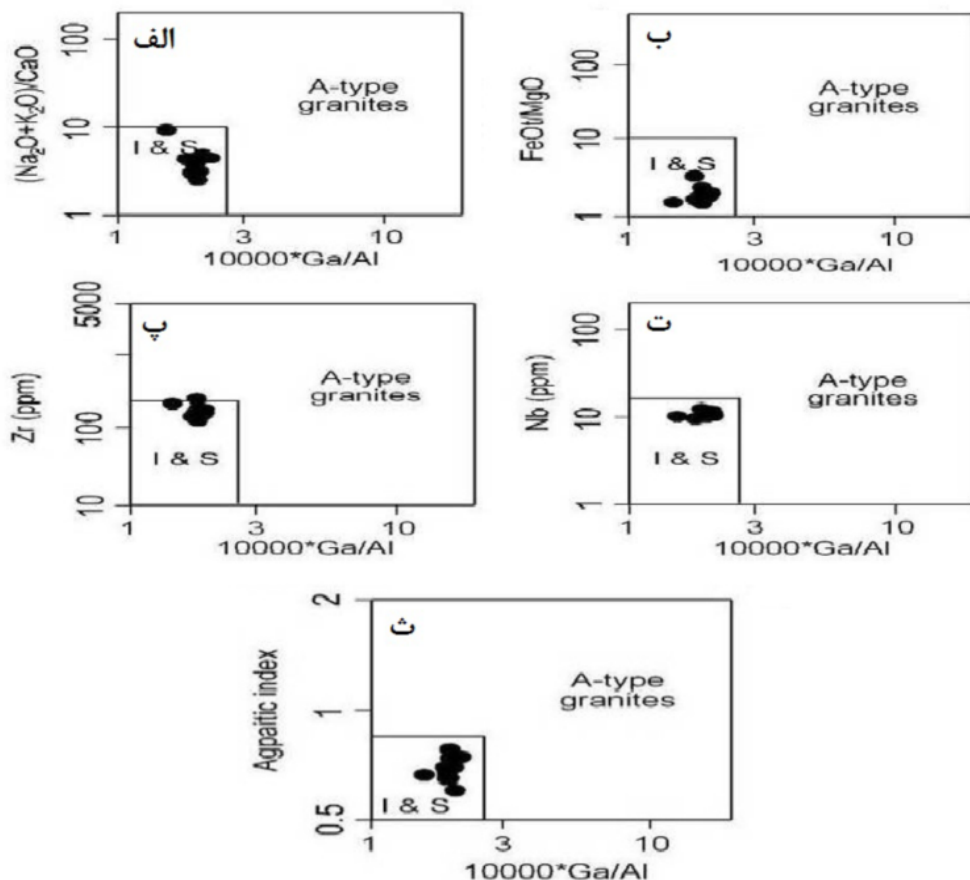
شکل ۶ الف) نمایش گرانیتوئیدهای کاشمر در نمودار  $\text{SiO}_2$ - $\text{FeO}/(\text{FeO}+\text{MgO})$  [۲۷]. بالای خط چین به گستره‌ی گرانیتوئیدهای آهن دار (نوع A) و زیر خط به گرانیتوئیدهای منیزیم دار نوع کردیلرا (I-type) تعلق دارد. ب) نمایش گرانیتوئیدهای کاشمر در نمودار  $\text{SiO}_2$ - $\text{Na}_2\text{O}+\text{K}_2\text{O}-\text{CaO}$  برای تعیین کلسیک یا قلیابی بودن [۲۸].

جدا کننده‌ی گرانیت‌ها (شکل ۸) [۳۰] و قراردادن عناصر  $\text{Zr}$  و  $\text{Nb}$  در مقابل نسبت‌های  $\text{Ce}/\text{Nb}$  و  $\text{FeO}^*/\text{MgO}$  و  $10000/\text{FeO}^*\text{MgO}$  در مقابله با  $\text{Ga}/\text{Al}$  در برابر شاخص پایین آگپائیتیک (Molar AI =  $\text{Na}_2\text{O} + \text{K}_2\text{O}/\text{Al}_2\text{O}_3$ )، سنگ‌ها در قلمرو گرانیت‌های I قرار می‌گیرند.

براساس مقدار عناصر Rb و Ta در نمودارهای تعیین موقعیت زمین‌ساختی گرانیتوئیدها [۲۹]، سنگ‌های نفوذی و نیمه عمیق کاشمر در قلمرو کمان آتشفسانی منطقه‌ی فرورانش (syn-COLG) نزدیک به قلمرو برخورد قاره (VAG) نزدیک به قلمرو برخورد قاره (syn-COLG) نزدیک به قلمرو برخورد قاره (VAG) قرار می‌گیرند (شکل ۷). با نمایش گرانیتوئیدها در نمودارهای



شکل ۷ موقعیت گرانیتوئیدهای کاشمر در نمودارهای تعیین موقعیت زمین ساختی [۲۹]: (الف) Rb در مقابل  $\text{Y}+\text{Nb}$ ; (ب) Rb در مقابل Ta در مقابل  $\text{Y}$ ; (پ) Nb در مقابل  $\text{Yb}$  و (پ) Ta در مقابل  $\text{Yb}$ . نمونه‌ها در قلمرو کمان آتشفسانی درون قاره و برخوردگاه قرار می‌گیرند. SYN-COLG: Syn Collision Granite, WPG: Within Plate Granite, ORG: Oceanic Ridge Granite, VAG: Volcanic Arc Granite



شکل ۸ موقعیت گرانیت‌های کاشمر در نمودارهای جداکننده‌ی گرانیتوئیدها [۳۰؛ الف]  $(\text{Na}_2\text{O} + \text{K}_2\text{O})/\text{CaO}$  در مقابل  $1000 \times \text{Ga}/\text{Al}$ ؛ ب) در مقابل  $1000 \times \text{FeO}/\text{MgO}$  در مقابل  $1000 \times \text{Gl}/\text{Al}$ ؛ پ)  $\text{Zr}$  در مقابل  $1000 \times \text{Gl}/\text{Al}$ ؛ ت)  $\text{Nb}$  در مقابل  $1000 \times \text{Gl}/\text{Al}$ ؛ ث) آندیس آگپائیتیک در مقابل  $1000 \times \text{Gl}/\text{Al}$ . براین اساس نمونه‌های در قلمرو گرانیتوئیدهای نوع I و S قرار می‌گیرند.

FG: fractionated felsic granites, OGT: unfractionated I-, S- and M-type granites

کمتر از یک باشد، بی‌هنجاری منفی است [۳۳]. بر این اساس همهی سنگ‌ها بی‌هنجاری منفی یوروپیم (Eu) دارند (جدول ۱ و شکل ۹). مقادیر منفی ناشی از کمبود پلاژیوکلاز کلسیک در نمونه‌های است که با میزان Sr پایین (کمتر از ۴۰۰ گرم در تن) در همهی نمونه‌ها (به جز یک نمونه) نیز تایید می‌شود. بهنجارسازی برخی عناصر فرعی و خاکی کمیاب نسبت به گوشته‌ی اولیه، نشان دهنده‌ی غنی‌شدگی در عناصر لیتوфیل با شعاع یونی بزرگ (LILE) مانند Rb، Cs و Th و عناصر خاکی کمیاب سبک (LREE) مانند La و Ce [۸۷] است. نسبت به عناصر واسطه با شدت میدان بالا  $(\text{La}/\text{Yb})_{\text{N}} = ۵/۲$ ، نسبت به عناصر خاکی کمیاب سنگین (HFSE) مانند Nb، Zr و Ti و عناصر خاکی کمیاب سنگین (HREE) مانند Lu و Yb است. الگوهای عناصر خاکی نادر سنگین صاف تقریباً جدا شده  $(\text{Gd}/\text{Yb})_{\text{N}} = ۰,۸-۱,۸۷$  است.

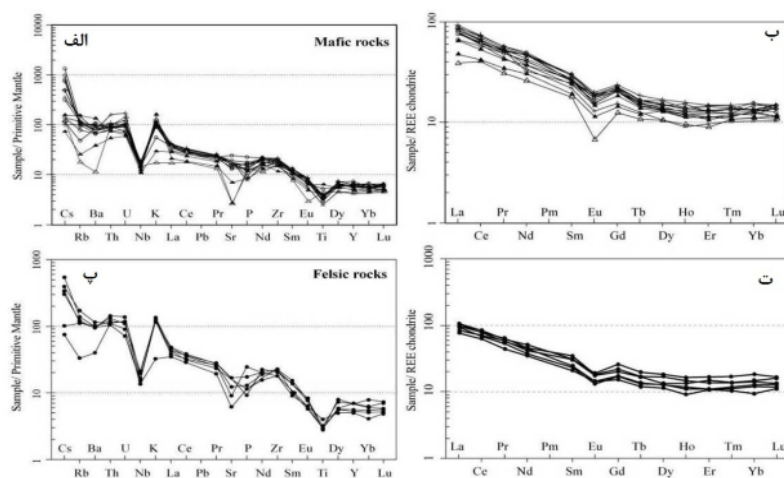
نمودار عنکبوتی، مقدار عناصر خاکی کمیاب بهنجارشده با مقادیر REE کندریت [۳۱] و بهنجارسازی برخی عناصر فرعی و خاکی کمیاب نسبت به گوشته‌ی اولیه [۳۲] در شکل ۹ نشان داده شده‌اند. چنانکه دیده می‌شود غنی‌شدگی در عناصر خاکی کمیاب سبک (LREE) نسبت به عناصر خاکی کمیاب سنگین (HREE) در همهی نمونه‌ها دیده می‌شوند. در برخی نمونه‌های مافیک (نمونه‌های با ویژگی بازالت قلیایی؛ مراجعه می‌شود به بخش زئوژیمی)، تهی‌شدگی شدید مقادیر Ba، Rb و Sr را می‌توان با نبودن پلاژیوکلاز کلسیک در ترکیب این سنگ‌ها توجیه کرد. یک نمونه‌ی اسیدی به دلیل تغییر موضوعی مقدار برخی از کانی‌ها در سنگ (مانند پلاژیوکلاز یا فلدسپار قلیایی) دستخوش افت در مقدار عناصری چون Cs و Ba شده است، دارای مقادیر کم از بی‌هنجاری منفی یوروپیم (Eu) با نسبت  $\text{Eu}/\text{Eu}^*$  مشخص است. در صورتی که مقدار این کسر

تا زیاد، دیگر ویژگی‌های این سنگ‌ها مانند نسبت Sr/Y ( $\text{Al}_2\text{O}_3 < 2\text{ ppm}$ )، Al کمتر از ۱۵ درصد وزنی، Eu سبب شده است تا آداکیتی نبود بی‌هنگاری یوروپیم (Eu) مافیک نزدیک موهوی قاره‌ای می‌تواند گرمای کافی برای ذوب بخشی پوسته زیرین را فراهم کند ([۴۰]؛ گرچه این سازوکار توسط [۴۱، ۴۲] مورد سوال قرار گرفته است). این سازوکار قادر به تولید گرانیت‌وئیدهای آهکی‌قلیایی با پتانسیم بالا نوع I است که ترکیبی از نسبت‌های مختلف ترکیبات گوشه‌ای و پوسته ایست. [۴۲-۴۷]. داده‌های ژئوشیمیایی و نمودارهای نقش فرآیندهای ذوب بخشی و جدایش بلوری (شکل‌های ۱۰ ب، پ و ت)، دلالت بر هضم پوسته توسط گذازه‌های گوشه‌ای دارد. یک محدودیت مهم برای خاستگاه سنگ‌های گرانیتی، الگوهای REE آنهاست (شکل ۹). الگوهای HREE مشاهده شده دلالت بر نبود گارنت در باقیمانده‌ی یا جدایش دارد. وجود بی‌هنگاری‌های منفی کم تا قابل توجه یوروپیم (Eu) (جدول ۱ و شکل ۹) و نمودارهای تغییرات عناصر K/Rb در برابر Rb ([۴۸]، Ba در برابر Eu/Eu\*) و Sr در برابر Rb ([۴۹]) برای سنگ‌های گرانیت‌وئیدی (شکل‌های ۱۰ ب، پ و ت)، نشان دهنده‌ی نقش فرآیندهای ذوب بخشی و جدایش بلوری (AFC) در تشکیل گرانیت‌وئیدهای سری I کاشمر است. ذوب بخشی در تشکیل سری I کاشمر نقش اصلی را ایفا کرده و روند جدایش از روند جدایش پلازیوکلاز و فلدسپار قلیایی پیروی می‌کند. به طور گسترده‌ی پذیرفته شد که گرانیت‌وئیدهای نوع I در کمربندهای کوهزایی هنگامی که مانگماهای بازالتی مولد با پوسته قاره‌ای از طریق واکنش اختلاط مانگما، یا هضم ترکیب شده با تبلور تفریقی (AFC) صورت می‌گیرد، حاصل می‌شوند [۵۰، ۵۱]. اغلب بازسازی‌های زمین‌ساختی برای بسته شدن نئوتیتیس با یک حاشیه فعلی تشکیل شده در راستای اورازیایی جنوبی از مزوژئیک بالایی تا سرتاسر سنوژئیک سازگار است [۵۲، ۵۳]. دو فاز تصادمی اصلی در ایران مرکزی و شمال‌شرقی تشخیص داده شده شامل: ۱- برخورد نثوژن بین ایران و عربی و ۲- برخورد پالتوسن بین ایران مرکزی و اورازیا با بسته شدن حوضه‌ی سبزوار. فرورانش لیتوسفر نئوتیتیس به زیر ایران مرکزی با مانگماتیسم کمانی گسترده در درون صفحه رویی، با یک فاز اصلی طی ائوسن میانی همراه بود [۵۳، ۵۴، ۵۵].

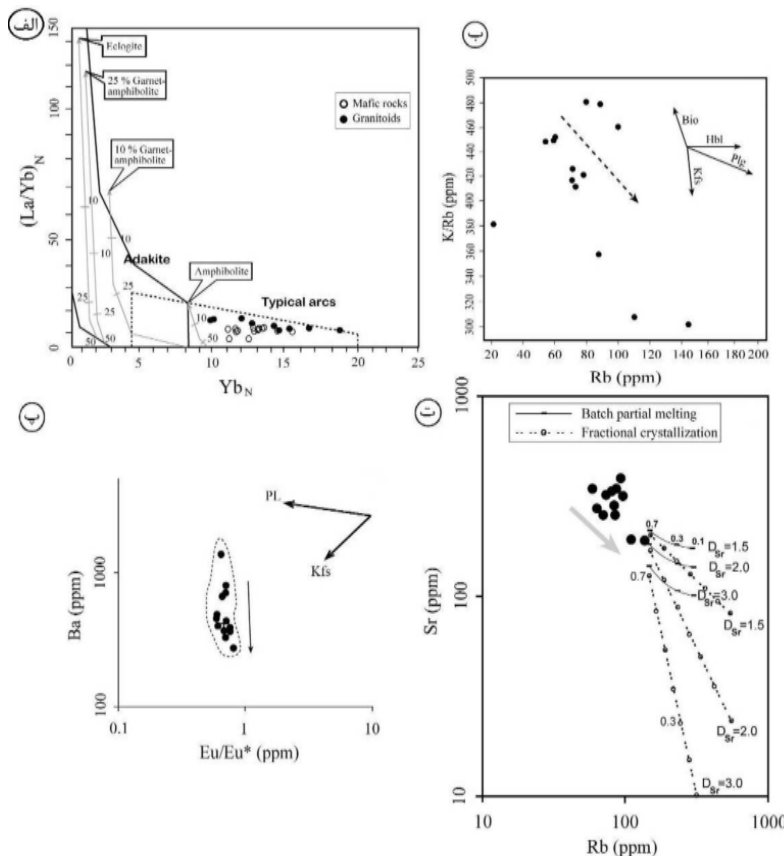
## بحث

براساس ویژگی‌های صحرایی و نقشه‌ی زمین‌شناسی، ما حداقل سه فاز مانگماتیستی مستقل از هم (فاز اول: آتشفشاری و نفوذی‌های مافیک-حدواسط؛ فاز دوم: گرانیت‌وئیدهای، و فاز سوم: مانگماتیس کاشمر پیشنهاد می‌کنیم. بازه وسیع ترکیبی و کانی‌شناسی سنگ‌های کاشمر از کوارتز مونزوگابرو تا گرانیت، نمونه‌ای شاخص از نفوذ مانگماهای تولثیتی (فاز ضعیف) و آهکی‌قلیایی-شوشنیتی (فاز قوی) کمان است. اخیراً سن گرانیت‌وئیدهای توسط [۱۹] ۴۰ میلیون سال (ائوسن میانی) تعیین شده است. ویژگی‌های صحرایی همراه با تجزیه ژئوشیمیایی نشان می‌دهد که همه انواع سنگ‌ها در اساس همخون‌اند. براساس اندازه‌گیری گشتاور، معناظطیسی و بررسی‌های سنگ نگاری و ژئوشیمی توده‌های نفوذی مافیک-حدواسط و گرانیت‌وئیدهای ائوسن میانی کاشمر، سنگ‌های آذرین کاشمر از نوع اکسایشی-احیایی و فرورانش نوع I وابسته‌اند. شروع مانگماتیسم با نفوذ ضعیف انباشت‌های مافیک-حدواسط تولثیتی (سه نمونه‌ی استثنایی در بخش ژئوشیمی) با ویژگی پرآلومین قوی تا متالومین، نشان دهنده‌ی شروع مانگماتیسم به صورت بازالت‌های تولثیتی قلیایی و سپس ادامه‌ی شدید آن با توده‌های مافیک-حدواسط گسترده‌تر با ویژگی آهکی‌قلیایی و شوشنیتی است. فاز اسیدی در کاشمر به صورت نفوذ گسترده‌ی گرانیت‌وئیدهای آهکی‌قلیایی است. چنانکه برای گرانیت‌های نوع I انتظار می‌رود، گرانیت‌وئیدهای دارای کانی‌های بیوتیت و هورنبلند بوده و ویژگی متالومینوس تا پرآلومینوس دارند [۳۴]. سنگ‌های نفوذی مافیک-حدواسط و گرانیت‌وئیدهای کاشمر دارای شاخص‌های مشابه کمان، شامل تهی شدگی از Nb-Ta-Ti و غنی شدگی در Ba، U، Rb، Th و K هستند [۳۵]، اگرچه تهی شدگی‌های HFSE و غنی شدگی‌های LILE نیز شاخص‌هایی از سنگ‌های همزمان تا پسا برخورد هستند [۲۹]. بی‌هنگاری‌های منفی Ti-Nb-Ta خاص انواع مانگماهای آهکی‌قلیایی بوده و ممکن است با هورنبلند باقیمانده و/یا اکسیدهای آهن-تیتان (روتیل، ایلمینیت) در خاستگاه مانگماهای مادر توصیف شود [۳۶-۳۸].

براساس نمودار  $\text{Yb}_{\text{N}}$  (La/Yb) در مقابل  $\text{Yb}_{\text{N}}$  (La/Yb) ([۳۹]، همه‌ی سنگ‌های کاشمر از ذوب تقریبی ۵۰ درصد آمفیولیت بوجود آمده‌اند که نشان‌دهنده‌ی خاستگاه پوسته‌ای است (شکل ۱۰.الف). علاوه بر مقادیر  $\text{Yb}_{\text{N}}$  (La/Yb) کم و Y و متوسط



شکل ۹ نمودارهای چند عنصری و عناصر کمیاب (الف و ب) برای تودههای نفوذی مافیک-حدواسط و (پ و ت) برای گرانیتوئیدها. مقادیر در شکل‌های سمت چپ بر حسب [۳۱] و در شکل‌های سمت راست بر حسب [۳۲] بنهجهار شده‌اند.



شکل ۱۰ (الف) نمودار  $(\text{La}/\text{Yb})_N$  در مقابل  $\text{Yb}_N$  ( $\text{La}/\text{Yb}$ ) [۳۹]. بنابر این نمودار، تودههای نفوذی و نیمه عمیق کاشر در محیط آدکیت قرار نمی‌گیرند. این توده‌ها از ذوب تقریبی ۵۰ درصد آمفیبولیت بدون حضور گارنت به وجود آمده‌اند که نشاندهنده خاستگاه پوسته‌ای آن‌ها است؛ (ب، پ و ت) نمودارهای تغییرات عناصر سنگ‌های گرانیتوئیدی برای درک فرآیندهای دخیل در تشکیل مagma گرانیتوئیدی کاشر : (ب) در برابر  $\text{Rb}/\text{Rb}$  [۴۹]؛ (پ)  $\text{Ba}$  در برابر  $\text{Eu}/\text{Eu}^*$  [۴۸]؛ (ت) نمودار  $\text{Sr}$  در مقابل  $\text{Rb}$  [۴۹] برای گرانیتوئیدهای کاشر منحنی‌ها، مدل‌های ذوب بخشی و تبلور Dsr مختلف در امتداد منحنی‌های درجه ذوب بخشی مربوط به درجات ذوب بخشی و تبلور تغییری نشان می‌دهد. اعداد Dsr را برای سه Dsr متفاوت در تشکیل گرانیتوئیدهای سری I کاشر است. ذوب بخشی در تشکیل magma گرانیتوئیدی نقش اصلی را ایفا کرده و روند جدایش بلوری (AFC) در تغییرات عناصر سنگ‌های گرانیتوئیدی در تراکم بافتی می‌باشد. (پ) نمودار  $\text{Ba}$  در مقابل  $\text{Eu}/\text{Eu}^*$  (ppm) (پ) نمودار  $\text{K}/\text{Rb}$  (ppm) در مقابل  $\text{Rb}$  (ppm) (ت) نمودار  $\text{Sr}$  (ppm) در مقابل  $\text{Rb}$  (ppm)

همبافت‌های هسته‌ی ایران مرکزی شده است. توده‌های نفوذی و نیمه عمیق سری I کاشمر ممکن است از فروزانش صفحه‌ی اقیانوسی عمیقاً فرورانده شده نفوتیس به زیر پوسته‌ی زیرین قاره‌ی ایران مرکزی در راستای حاشیه‌ی قاره‌ی اورازیا بی‌تولید شده باشند. احتمالاً ورودی غالب مagmaهای گوشه‌های جوان با کشش بالای منطقه‌ی فروزانش تیس در ائوسن همراه بوده است. گرما و آغشتنگی magmaهای گوشه‌های جوان سبب ذوب بخشی لیتوسفر قاره‌ی شد که بر اثر صعود و جدایی magmaهای ناشی از آن در ائوسن، توده‌های نفوذی و نیمه عمیق سری I کاشمر جایگزین شده‌اند.

#### برداشت

ماگماتیسم در کاشمر به ذوب بخشی پوسته‌ی قاره‌ی ایران مرکزی وابسته بوده، که با تحریک گدازه‌های ناشی از صفحه‌ی فروزانده ذوب شده نفوتیس در زیر پوسته‌ی ایران مرکزی و کشش پوسته ائوسن نزدیک به سطح، جایگزین شده است. در واقع کمریند magmaی خواف- کاشمر- برداشتن به عنوان کمریندی با رخنمون گسترده‌ی سنگ‌های ائوسن (در مناطقی چون سنگان و کاشمر)، نمودی از فوران magmaی گسترده ائوسن در ایران است که با ویژگی کالکوآلکان-شوشوونیتی قوی و توائیتی ضعیف، یادآور نوارهای magmaی دور از گودال است.

#### مراجع

- [1] Roberts M.P., Clemens J.D., "Origin of High-Potassium, Calc-Alkaline", I-Type Granitoids. *Geology* 21 (1993) 825–828.
- [2] Sisson T.W., Ratajeski K., Hankins W.B., Glazner A.F., "Voluminous granitic magmas from common basaltic sources", *Contributions to Mineralogy and Petrology* 148 (2005) 635–661.
- [3] Hildreth W., Halliday A.N., Christiansen R.L., "Isotopic and Chemical Evidence Concerning the Genesis and Contamination of Basaltic and Rhyolitic Magma beneath the Yellowstone Plateau Volcanic Field", *Journal of Petrology* 32 (1991) 63–138.
- [4] Huang C.M., Zhao Z.D., Zhu D.C., Liu D., Huang Y., Dung M.C., Hu Z.C., Zheng J.P., "Geochemistry, zircon U-Pb chronology and Hf isotope of Luozha leucogranite, southern Tibet: Implication for petrogenesis", *Acta Petrologica Sinica* 29 (2013) 3689–3702.

داده‌های ژئوشیمیایی کمان‌های آتشفسانی در ایران مرکزی و شمال- شمال غربی محدود به دوره‌های فاز مagmaی ۱۷ میلیون ساله، از حدود ۵۴ میلیون سال تا ۳۷ میلیون سال، است [۶۵]. طی ائوسن، تغییر از یک حاشیه‌ی صفحه‌ی کششی به فشارشی در راستای منطقه‌ی همگرای عربی- اورازیا بی‌رخداد، که با رمبش پوسته‌ی ضخیم شده ایران مرکزی همراه بود [۱۲, ۵۷]. رویداد بزرگ در زمان ائوسن در ایران کشش ناحیه‌ای بود که همبافت‌های هسته‌ی را آشکار کرد (شکل ۱) [۱۲, ۵۸]. سنگ‌های magmaی ائوسن در شمال و جنوب افیولیت‌های سبزوار رخ شکل گرفته‌اند (شکل ۱). سنگ‌های magmaی این کمریند از مافیک تا اسیدی و از تولثیتی تا آهکی- قلیایی، مشابه با ارومیه- دختر ایران مرکزی، زمان ائوسن اوج فعالیت magmaی در کمریند magmaی سبزوار مشخص شده است [۵۵, ۵۶]. magmaهای ائوسن در شمال شرق ایران مشابه با شمال شرقی ارومیه- دختر است. سنین پلیو- کواترنری داشته و ممکن است با ذوب پسا برخورد یک تیله فروزانده و/یا پوسته زیرین ضخیم شده مافیک، که پس از شکستن صفحه یا تورق در اثر صعود استنوسفری تحریک شده، تشکیل شده اند [۵۹]. سنگ‌های مافیک- حدواتسط نفوذی و گرانیتوئیدی کاشمر ویژگی‌های آهکی- قلیایی وابسته به سنگ‌های حاصل از کشش و رمبش پس از برخورد بعد از زمان بسته شدن اقیانوس سبزوار در ایران مرکزی را نشان می‌دهند. مدل‌های سنگ‌زایی سنگ‌های آذرین کاشمر باید با پذیرش ایران به عنوان حاشیه‌ی فعال صفحه سنوزوئیک، سازگار باشد. در زمان کرتاسه‌ی بالایی- پالئوسن زیرین، همگرایی پیوسته بین کشورهای عربی و ایران به بسته شدن اقیانوس سبزوار کمک کرد، و افیولیت‌های سبزوار و دیگر افیولیت‌های ایران مرکزی همراه با شکل‌گیری اورازیایی جنوب غربی از یک حاشیه‌ی صفحه‌ی همگرای پیشرونده (کششی) به حاشیه‌ی صفحه‌ی همگرای پس زده (فشارشی)، جایگزین شدند [۶۰, ۶۱]. طی ائوسن، فشرده‌گی ایران با بسته شدن حوضه‌ی سبزوار همراه بود که با رمبش کوهزایی دنبال شد. کشش ائوسن و نازک شدگی لیتوسفری ممکن است با ذوب شدگی ناشی از کاهش فشار وابسته به استنوسفر آبدار در حال صعود همراه بوده است [۱۲, ۵۶]. ممکن است کشش ائوسن همراه با تورق لیتوسفری نیز بوده باشد، که همچنین عامل محرك کشش و بیرون زدگی سریع

- International Journal of Earth Sciences 102, 1603–1625.
- [14] Shafaii Moghadam H.S., Corfu F., Chiaradia M., Stern R.J., Ghorbani G., "Sabzevar Ophiolite, NE Iran: Progress from embryonic oceanic lithosphere into magmatic arc constrained by new isotopic and geochemical data", Lithos 210–211 (2014) 224–241.
- [15] Behroozi A., "Geological map of Feyzabad , scale 1:100000, Geological Survey of Iran", Tehran. (1988)
- [16] Bernhardt U., "Middle Tertiary volcanic rocks from the southern Sabzevar zone, Khorasan, NE Iran. Geodynamic Project (Geotraverse) in Iran", Report No. 51: 277-284, Geological Survey of Iran (1983).
- [17] Soltani A., "Geochemistry and geochronology of I-type granitoid rocks in the northeastern Central Iran Plate", PhD Thesis, University of Wollongong, Wollongong, Australia. (2000)
- [18] Golmohammadi A., Mazaheri S. A., Malekzadeh shafaroudi A., Karimpour M. H., "Zircon U-Pb dating and geochemistry of Sarkhar and Bermani granitic rocks, East of Sangan iron mine, Khaf", Iranian Journal of Petrology 17: 83–102.
- [۱۹] [الماضی ع.، کریمپور م.ح.، ابراهیمی نصرآبادی خ.، رحیمی ب.، کلوتزلی ا.، سانتوز ژ.ف.، "زمین‌شناسی، کانی‌سازی، سن-سنجی U-Pb و ژئوشیمی اینزوتوب‌های Sr-Nd توده‌های نفوذی شمال شرق کاشمر"، مجله زمین‌شناسی اقتصادی، جلد ۷، شماره ۱، (۱۳۹۴) ص ۹۰-۶۹.]
- [20] Ishihara S., "The magnetite-series and ilmenite-series granitic Rocks", Mining Geology 27 (1981) 293-305.
- [21] Ishihara S., "The granitoid series and mineralization", Economic Geology 75 (1996) 458-484.
- [22] ISHIHARA S., HASHIMOTO M., MACHIDA M., "Magnetite/Ilmenite-series Classification and Magnetic Susceptibility of the Mesozoic-Cenozoic Batholiths in Peru", Resource Geology 50, Issue 2, pages 123–129.
- [23] Middlemost EAK., "Naming materials in the magma/igneous rock system", Earth-Sci Rev 37 (1985) 215–224
- [5] Castro A., Fernandez C., El-Hmidi H., El-Biad M., Diaz M., de la Rosa J., Stuart F., "Age constraints to the relationships between magmatism, metamorphism and tectonism in the Aracena metamorphic belt, southern Spain", International Journal of Earth Sciences 88 (1999) 26–37.
- [6] Patino-Douce A.E., "Experimental generation of hybrid silicic melts by reaction of high-Al basalt with metamorphic rocks", Journal of Geophysical Research 100 (1995) 15623–15639.
- [7] Barbarin B., "A review of the relationships between granitoid types", their origins and their geodynamic environments. Lithos 46 (1999) 605–626.
- [8] Kemp A.I.S., Hawkesworth C.J., Collins W.J., Gray C.M., Blewitt P.L., Eimf. "Isotopic evidence for rapid continental growth in an extensional accretionary orogen: The Tasmanides", eastern Australia. Earth and Planetary Science Letters 284 (2009) 455–466.
- [9] Jiang X.-Y., Li X.-H., "In situ zircon U-Pb and Hf-O isotopic results for ca. 73Ma granite in Hainan Island: Implications for the termination of an Andean-type active continental margin in southeast China". Journal of Asian Earth Sciences 82 (2014) 32–46.
- [10] Li X.-H., Li Z.-X., Li W.-X., Liu Y., Yuan C., Wei G., Qi C., "U-Pb zircon, geochemical and Sr-Nd-Hf isotopic constraints on age and origin of Jurassic I-and A-type granites from central Guangdong", SE China: a major igneous event in response to foundering of a subducted flat-slab? Lithos 96 (2007) 186–204.
- [11] Shafaii Moghadam H.S., Li X.H., Ling X.X., Santos J.F., Stern R.J., "Eocene Kashmar granitoids (NE Iran): Petrogenetic constraints from U-Pb zircon geochronology and isotope geochemistry", Lithos 216–217 (2015) 118–135.
- [12] Verdel C., Wernicke B.P., Ramezani J., Hassanzadeh J., Renne P.R., Spell T.L., "Geology and thermochronology of Tertiary Cordilleran-style metamorphic core complexes in the Saghand region of central Iran", Geological Society of America Bulletin 119 (2007) 961–977.
- [13] Alaminia Z., Karimpour M.H., Homam S.M., Finger F., "The magmatic record in the Arghash region (northeast Iran) and tectonic implications",

- arc petrogenesis.* In: Prichard, H.M., Albaster, T., Harris, N.B.W., Neary, C.R. (Eds.), *Magmatic Processes in Plate Tectonics*", Geological Society of London 76 (1993) 373–403.
- [37] Reagan M. K., Gill J. B., "Coexisting calc-alkaline and high niobium basalts from Turrialba volcano, Costa Rica: implication for residual titanates in arc magma source", Journal of Geophysical Research 94(1989)4619–4633.
- [38] Martin H., "The Achaean grey gneisses and the genesis of the continental crust", Elsevier 86: (1995) 205-25.
- [39] Hildreth W., "Gradients in Silicic Magma Chambers – Implications for Lithospheric Magmatism", Journal of Geophysical Research 86 (1981) 153–192.
- [40] Castro A., Gerya T.V., "Magmatic implications of mantle wedge plumes", Experimental study. Lithos 103 (2008) 138–148.
- [41] Castro A., Gerya T., Garcia-Casco A., Fernandez C., Diaz-Alvarado J., Moreno-Ventas I., Low I., "Melting Relations of MORB-Sediment Melanges in Underplated Mantle Wedge Plumes; Implications for the Origin of Cordilleran-type Batholiths", Journal of Petrology 51(2010)1267–1295.
- [42] Altherr R., Henjes-Kunst F., Langer C., Otto J., "Interaction between crustal-derived felsic and mantle-derived mafic magmas in the Oberkirch Pluton (European Variscides, Schwarzwald, Germany)", Contributions to Mineralogy and Petrology 137 (1999) 304–322.
- [43] Altherr R., Holl A., Hegner E., Langer C., Kreuzer H., "High-potassium, calc-alkaline I-type plutonism in the European Variscides: northern Vosges (France) and northern Schwarzwald (Germany)", Lithos 50(2000)51–73.
- [44] Galan G., Pin C., Duthou J.L., "Sr-Nd isotopic record of multi-stage interactions between mantle-derived magmas and crustal components in a collision context – The ultramafic-granitoid association from Vivero (Hercynian belt", NW Spain). Chemical Geology 131 (1996) 67–91.
- [45] Kemp A.I.S., Whitehouse M.J., Hawkesworth C.J., Alarcon M.K., "A zircon U-Pb study of metaluminous (I-type) granites of the Lachlan Fold Belt, southeastern Australia: implications for the high/low temperature classification and magma
- [24] Irvine T. N., Baragar W. R. A., "A guide to chemical classification of the common volcanic rocks", Journal of Sciences 8 (1971) 523-548.
- [25] Peccerillo A, Taylor SR., "Geochemistry of Eocene calc-alkaline volcanic rocks from the Kastamonu area, northern Turkey", Contrib Miner Petrol 58 (1976) 63–81.
- [26] Shand S. J., "Eruptive rocks", London 488 (1943) 231-252.
- [27] Frost B. R., Frost C. D., "A geochemical classification for feldspathic igneous rocks", Journal of Petrology 49(2008)1955–1969.
- [28] Frost B. R., Arculus R. J., Barnes C. G., Collins W. J., Ellis D. J., Frost C.D., "A geochemical classification of granitic rocks", Journal of Petrology 42(2001) 2033–2048.
- [29] Pearce J. A., Haris N. B. W., Tindle A. G., "Trace element discrimination diagrams for the tectonic interpretation of granitic rocks", Journal of Petrology 11(1984) 77-96.
- [30] Whalen J.B., Currie K.L., Chappell B.W., "A-type granites: geochemical characteristics, discrimination and petrogenesis", Mineralogy and Petrology 96(1987) 407–419.
- [31] Sun S. S., Mc Donough W. F., "Chemical and isotopic systematics of oceanic basalts; implications for mantle composition and processes". In: Magmatism in the ocean basins (Eds. Saunders, A. D. and Norry, M. J.) Special Publications 42(1989)313-345. Geological Society, London.
- [32] Boynton W. V., "Cosmochemistry of the rare earth elements", Meteorite studies. In: Rare earth element geochemistry (Ed. Henderson, P.) 115-1522. (1985) Elsevier, Amsterdam.
- [33] Taylor S. R., McLennan S. M., "The continental crust, its composition and evolution, an examination of the geochemical record preserved in sedimentary rocks", Blackwell. Oxford 46(1985)312-333.
- [34] Wilson M., "Igneous petrogenesis", Uniwin Hyman, London. (1989).
- [35] Martin H., "The adakitic magmas: modern analogues of Archaean granitoids", Lithos 46 (3): (1999) 411-429.
- [36] Pearce J. A., Parkinson I.J., "Trace element models for mantle melting: application to volcanic

- [54] Moghadam H.S., Stern R.J., "Geodynamic evolution of Upper Cretaceous Zagros ophiolites: formation of oceanic lithosphere above a nascent subduction zone", *Geological Magazine* 148 (2011) 762–801.
- [55] Chiu H.-Y., Chung S.-L., Zarrinkoub M.H., Mohammadi S.S., Khatib M.M., Iizuka Y., "Zircon U-Pb age constraints from Iran on the magmatic evolution related to Neotethyan subduction and Zagros orogeny", *Lithos* 162–163 (2013) 70–87.
- [56] Verdel C., Wernicke B.P., Hassanzadeh J., Guest B., "A Paleogene extensional arc flare-up in Iran", *Tectonics* 30. (2011).
- [57] Ramezani J., Tucker R.D., "The Saghand Region, Central Iran: U-Pb geochronology, petrogenesis and implications for Gondwana Tectonics", *American Journal of Science* 303(2003) 622–665.
- [58] Kargaranbafghi F., Neubauer F., Genser J., Faghil A., Kusky T., "Mesozoic to Eocene ductile deformation of western Central Iran: From Cimmerian collisional orogeny to Eocene exhumation", *Tectonophysics* 564(2012)83–100.
- [59] Shabanian E., Acocella V., Gioncada A., Ghasemi H., Bellier O., "Structural control on volcanism in intraplate post collisional settings: Late Cenozoic to Quaternary examples of Iran and Eastern Turkey", *Tectonics* 31. (2012)
- [60] Agard P., Omrani J., Jolivet L., Whitechurch H., Vrielynck B., Spakman W., Monie P., Meyer B., Wortel R., "Zagros orogeny: a subduction-dominated process", *Geological Magazine* 148(2011) 692–725.
- [61] Rossetti F., Nasrabad M., Theye T., Gerdes A., Monie P., Lucci F., Vignaroli G., "Adakite differentiation and emplacement in a subduction channel: The late Paleocene Sabzevarmagmatism (NE Iran)", *Geological Society of America Bulletin* 126(2014)317–343.
- differentiation processes", *Contributions to Mineralogy and Petrology* 150 (2005a) 230–249.
- [46] Kemp A.I.S., Wormald R.J., Whitehouse M.J., Price R.C., "Hf isotopes in zircon reveal contrasting sources and crystallization histories for alkaline to peralkaline granites of Temora, southeastern Australia", *Geology* 33 (2005b) 797–800.
- [47] Topuz G., Altherr R., Siebel W., Schwarz W.H., Zack T., Hasozbek A., Barth M., Satir M., Sen C., "Carboniferous high-potassium I-type granitoid magmatism in the Eastern Pontides: The Gumushane pluton (NE Turkey)". *Lithos* 116 (2010) 92–110.
- [48] Eby G. N., "Chemical subdivision of the A-type granitoids: petrogenetic and tectonic implications", *Geology* 20(1992)641–644.
- [49] Xu C., Huang Z., Qi L., Fu P., Liu C., Li E., Gung T., "Geochemistry of Cretaceous granites from Mianning in the Panix region, Sichuan Province, southwestern China: implications for their generation", *Journal of Asian Earth Sciences* 29(2007) 737–750.
- [50] Altunkaynak S., "Collision-driven slab breakoff magmatism in northwestern Anatolia, Turkey", *Journal of Geology* 115(2007) 63–82.
- [51] Altunkaynak S., Sunal G., Aldanmaz E., Genc C.S., Dilek Y., Furnes H., Foland K.A., Yang J.S., Yildiz M., "Eocene Granitic Magmatism in NW Anatolia (Turkey) revisited: New implications from comparative zircon SHRIMP U-Pb and  $^{40}\text{Ar}$ - $^{39}\text{Ar}$  geochronology and isotope geochemistry on magma genesis and emplacement", *Lithos* 155 (2012) 289–309.
- [52] Dilek Y., Altunkaynak S., Oner Z., "Syn-extensional granitoids in the Menderes core complex and the Late Cenozoic extensional tectonics of the Aegean province", *Geological Society, London, Special Publications* 321 (2009) 197–223.
- [53] Berberian M., King G.C.P., "Towards a Paleogeography and Tectonic Evolution of Iran", *Canadian Journal of Earth Sciences* 18(1981)210–265.